



**UJI DIAGNOSTIK ULTRASONOGRAFI DIBANDINGKAN  
DENGAN BIOPSI PATHOLOGI ANATOMI DALAM  
MENDIAGNOSIS KARSINOMA TIROD**

**LAPORAN HASIL  
KARYA TULIS ILMIAH**

**Diajukan untuk memenuhi sebagian persyaratan guna mencapai derajat  
sarjana Strata-1 Kedokteran Umum**

**YENNY KARTIKA GOZALI**

**G2A008198**

**PROGRAM PENDIDIKAN SARJANA KEDOKTERAN  
FAKULTAS KEDOKTERAN  
UNIVERSITAS DIPOEGORO**

**2012**

## **LEMBAR PENGESAHAN LAPORAN HASIL KTI**

### **UJI DIAGNOSTIK ULTRASONOGRAFI DIBANDINGKAN DENGAN BIOPSI PATHOLOGI ANATOMI DALAM MENDIAGNOSIS KARSINOMA TIROID**

Disusun oleh

**YENNY KARTIKA GOZALI**

**G2A008198**

Telah disetujui

Semarang, 4 Agustus 2012

Pembimbing I

Pembimbing II

dr. K. Heri Nugroho, Sp.PD-KEMD, FINASIM  
196906032005011001

dr. Rebriarina Hapsari  
198310012008122005

Ketua Penguji

Penguji

dr. Ika Pawitra, Sp.PA  
196206171990012001

dr. Nur Farhanah, Sp.PD  
197204072008122001

## **PERNYATAAN KEASLIAN PENELITIAN**

Yang bertanda tangan dibawah ini,

Nama : Yenny Kartika Gozali

NIM : G2A008198

Program Studi : Program Pendidikan Sarjana Program Studi Pendidikan Dokter  
Fakultas Kedokteran Universitas Diponegoro

Judul KTI : Uji Diagnostik Ultrasonografi Dibandingkan dengan Biopsi  
Patologi Anatomi dalam Mendiagnosis Karsinoma Tiroid

Dengan ini menyatakan bahwa:

- (a) Karya tulis ilmiah saya ini adalah asli dan belum pernah dipublikasi atau diajukan untuk mendapat gelar akademik di Universitas Diponegoro maupun di perguruan tinggi lain.
- (b) Karya tulis ini adalah murni gagasan, rumusan, dan penelitian saya sendiri, tanpa bantuan orang lain, kecuali pembimbing dan pihak lain sepengetahuan pembimbing.
- (c) Dalam karya tulis ini tidak terdapat karya atau pendapat yang telah ditulis atau dipublikasikan orang lain, kecuali secara tertulis dengan jelas dicantumkan sebagai acuan dalam naskah dengan disebutkan nama pengarang dan judul buku aslinya serta dicantumkan dalam daftar pustaka.

Semarang, 25 Juli 2012

Yang membuat pernyataan,

Yenny Kartika G.

## KATA PENGANTAR

Puji syukur penulis panjatkan kehadirat Tuhan Yang Maha Esa, karena atas berkat dan rahmat-Nya penulis dapat menyelesaikan tugas Karya Tulis Ilmiah ini. Penulisan Karya Tulis Ilmiah ini dilakukan dalam rangka memenuhi salah satu syarat untuk mencapai gelar sarjana Kedokteran di Fakultas Kedokteran Universitas Diponegoro. Penulis menyadari sangatlah sulit bagi penulis untuk menyelesaikan Karya Tulis Ilmiah ini tanpa bantuan dan bimbingan dari berbagai pihak sejak penyusunan proposal sampai dengan terselesaiannya laporan hasil Karya Tulis Ilmiah ini. Bersama ini penulis menyampaikan terima kasih kepada:

1. Rektor Universitas Diponegoro Semarang yang telah memberi kesempatan kepada penulis untuk menimba ilmu di Universitas Diponegoro.
2. Dekan Fakultas Kedokteran UNDIP yang telah memberikan sarana dan prasarana sehingga penulis dapat menyelesaikan tugas ini dengan baik.
3. dr. K. Heri Nugroho, Sp.PD-KEMD,FINASIM selaku dosen pembimbing yang telah menyediakan waktu, tenaga, dan pikiran untuk membimbing penulis dalam penyusunan Karya Tulis Ilmiah ini.
4. dr. Rebriarina Hapsari selaku dosen pembimbing II yang telah menyediakan waktu, tenaga, dan pikiran untuk membimbing penulis.
5. Orang tua beserta keluarga yang senantiasa memberikan dukungan.
6. Para sahabat yang selalu memberikan dukungan dalam menyelesaikan Karya Tulis Ilmiah ini.
7. Serta pihak lain yang tidak mungkin penulis sebutkan satu-persatu atas bantuannya secara langsung maupun tidak langsung.

Akhir kata, penulis berharap Tuhan Yang Maha Esa berkenan membalaik kebaikan semua pihak yang telah membantu. Semoga Karya Tulis Ilmiah ini dapat bermanfaat bagi kita semua.

Semarang, 25 Juli 2012

Penulis

## DAFTAR ISI

HALAMAN JUDUL .....	i
LEMBAR PENGESAHAN .....	ii
PERNYATAAN KEASLIAN .....	iii
KATA PENGANTAR .....	iv
DAFTAR ISI .....	v
DAFTAR TABEL .....	viii
DAFTAR GAMBAR .....	ix
DAFTAR LAMPIRAN .....	x
DAFTAR SINGKATAN .....	xi
ABSTRAK .....	xii
ABSTRACT .....	xiii
BAB I PENDAHULUAN .....	1
1.1 Latar belakang.....	1
1.2 Permasalahan penelitian.....	3
1.3 Tujuan penelitian.....	3
1.3.1 Tujuan umum.....	3
1.3.2 Tujuan khusus.....	4
1.4 Manfaat penelitian.....	4
1.5 Keaslian penelitian.....	5
BAB II TINJAUAN PUSTAKA.....	6
2.1 Nodul dan karsinoma tiroid.....	6
2.1.1 Nodul tiroid.....	6
2.1.2 Karsinoma tiroid.....	9
2.1.2.1 Klasifikasi.....	9
2.1.2.2 Tanda dan gejala.....	11
2.1.2.3 Faktor prognosis.....	11
2.1.2.4 Diagnosis.....	11
2.2 Pemeriksaan ultrasonografi untuk karinoma tiroid.....	12

2.3 Pemeriksaan biopsi patologi anatomi untuk karsinoma tiroid.....	20
<b>BAB III KERANGKA TEORI, KERANGKA KONSEP DAN HIPOTESIS...</b>	<b>26</b>
3.1 Kerangka teori.....	26
3.2 Kerangka konsep.....	27
<b>BAB IV METODE PENELITIAN.....</b>	<b>28</b>
4.1 Ruang lingkup penelitian.....	28
4.2 Tempat dan waktu penelitian.....	28
4.3 Jenis dan rancangan penelitian.....	28
4.4 Populasi dan sampel.....	28
4.4.1 Populasi target.....	28
4.4.2 Populasi terjangkau.....	29
4.4.3 Sampel.....	29
4.4.3.1 Kriteria inklusi.....	29
4.4.3.2 Kriteria eksklusi.....	29
4.4.4 Cara <i>sampling</i> .....	29
4.4.5 Besar sample.....	30
4.5 Variabel penelitian.....	31
4.5.1 Variabel prediktor.....	31
4.5.2 Variabel outcome.....	31
4.6 Definisi operasional.....	31
4.7 Cara pengumpulan data.....	32
4.7.1 Bahan.....	32
4.7.2 Alat .....	32
4.7.3 Jenis data.....	32
4.7.4 Cara kerja.....	32
4.8 Alur penelitian.....	33
4.9 Analisis data.....	34
4.10 Etika penelitian.....	35
4.11 Jadwal penelitian.....	35
<b>BAB V HASIL PENELITIAN.....</b>	<b>36</b>
5.1 Analisis sampel.....	36

5.2 Analisis deskriptif.....	36
5.2.1 Kapsul.....	37
5.2.2 Parenkim tiroid.....	37
5.2.3 Komponen nodul.....	38
5.2.4 Ekogenisitas nodul.....	39
5.2.5 Kalsifikasi.....	39
5.2.6 Peningkatan vaskularisasi.....	40
5.3 Nilai diagnostik.....	41
5.3.1 Interpretasi hasil ultrasonografi.....	41
5.3.2 Gambaran ultrasonografi.....	42
BAB VI PEMBAHASAN.....	45
BAB VII KESIMPULAN DAN SARAN.....	49
7.1 Kesimpulan.....	49
7.2 Saran.....	49
DAFTAR PUSTAKA.....	50
LAMPIRAN.....	55

## **DAFTAR TABEL**

Tabel 1. Keaslian penelitian.....	5
Tabel 2. Definisi operasional.....	31
Tabel 3. Tabel 2x2.....	34
Tabel 4. Jadwal penelitian.....	35
Tabel 5. Distribusi sampel berdasarkan gambaran kapsul pada hasil ultrasonografi.....	37
Tabel 6. Distribusi sampel berdasarkan gambaran parenkim tiroid pada hasil ultrasonografi.....	38
Tabel 7. Distribusi sampel berdasarkan gambaran komponen nodul pada hasil ultrasonografi.....	38
Tabel 8. Distribusi sampel berdasarkan gambaran ekogenisitas nodul pada hasil ultrasonografi.....	39
Tabel 9. Distribusi sampel berdasarkan kalsifikasi pada hasil ultrasonografi... ..	40
Tabel 10. Distribusi sampel berdasarkan peningkatan vaskularisasi pada hasil ultrasonografi.....	40
Tabel 11. Tabel 2x2 hasil ultrasonografi dan biopsi patologi anatomi.....	41
Tabel 12. Nilai diagnostik masing-masing gambaran ultrasonografi.....	42
Tabel 13. Hasil uji <i>chi-square</i> dan rasio prevalensi.....	43
Tabel 14. Nilai diagnostik kombinasi gambaran ultrasonografi.....	44

## **DAFTAR GAMBAR**

Gambar 1. Gambaran USG komponen nodul tiroid.....	14
Gambar 2. <i>Spobgiform appearance</i> pada USG.....	14
Gambar 3. Gambaran USG bentuk nodul tiroid.....	15
Gambar 4. Gambaran USG tepi nodul tiroid.....	16
Gambar 5. Gambaran USG dari kalsifikasi nodul tiroid.....	19
Gambar 6. Elastografi USG.....	20
Gambar 7. Jaringan karsinoma tiroid papilifer.....	22
Gambar 8. <i>Ground glass appearance</i> .....	22
Gambar 9. <i>Psammoma bodies</i> .....	22
Gambar 10. Jaringan karsinoma tiroid folikuler.....	23
Gambar 11. Jaringan karsinoma tiroid meduler.....	24
Gambar 12. Jaringan karsinoma tiroid anaplastik.....	25
Gambar 13. Kerangka teori.....	26
Gambar 14. Kerangka konsep.....	27
Gambar 15. Alur penelitian.....	33

## **DAFTAR LAMPIRAN**

Lampiran 1. <i>Ethical clearance</i> .....	55
Lampiran 2. Surat ijin peminjaman catatan register biopsi patologi anatomi...	56
Lampiran 3. Surat ijin peminjaman catatan medik.....	57
Lampiran 4. Hasil analisis statistik.....	58
Lampiran 5. Biodata peneliti.....	79

## **DAFTAR SINGKATAN**

USG	= Ultrasonografi
BAJAH	= Biopsi Aspirasi Jarum Halus
CT-scan	= <i>Computerized Tomographic Scanning</i>
MRI	= <i>Magnetic Resonance Imaging</i>
FNA	= <i>Fine Needle Aspiration</i>
MEN	= <i>Multiple Endocrine Neoplasia</i>
TSH	= <i>Thyroid Stimulating Hormone</i>

## **UJI DIAGNOSTIK ULTRASONOGRAFI DIBANDINGKAN DENGAN BIOPSI PATOLOGI ANATOMI DALAM MENDIAGNSOSIS KARSINOMA TIROID**

Yenny Kartika<sup>1</sup>, Heri Hugroho<sup>2</sup>, Rebriarina Hapsari<sup>3</sup>

### **ABSTRAK**

**Latar Belakang:** Nodul tiroid adalah masalah klinik yang umum dijumpai. Frekuensi keganasan pada nodul tiroid telah dilaporkan yaitu sebesar 5-10%. Sangat penting untuk mendiagnosis seawal mungkin karena progresifitas kanker tiroid adalah lambat dan kelangsungan hidup bisa panjang jika diberikan terapi sedini mungkin. Ultrasonografi (USG) menjadi lini pertama untuk mengevaluasi adanya nodul tiroid dan mempunyai kelebihan yaitu kenyamanan yang lebih baik dan biaya yang lebih rendah.

**Tujuan :** Menjelaskan nilai diagnostik USG dibandingkan dengan biopsi patologi anatomi dalam mendiagnosis karsinoma tiroid pada pasien di RSUP Dr. Kariadi Semarang

**Metode:** Subjek penelitian adalah pasien RSUP Dr. Kariadi Semarang yang memiliki nodul tiroid yang telah di periksa menggunakan USG dan Biopsi Patologi Anatomi (PA) selama bulan Januari 2008-Desember 2011. Data hasil pemeriksaan ultrasonografi dan biopsi patologi anatomi dari setiap sampel kemudian dikumpulkan untuk dianalisis sesuai rumus untuk mencari sensitivitas, spesifitas, nilai ramal positif, dan nilai ramal negatif.

**Hasil :** Total sampel yang didapatkan adalah 58 sampel. Pada penelitian ini didapatkan nilai sensitifitas USG sebesar 51,72 % , nilai spesifitas sebesar 86,7 %, nilai ramal positif sebesar 78,94 % dan nilai ramal negatif sebesar 64,1 %.

**Kesimpulan :** USG mempunyai sensitivitas yang tidak begitu tinggi dalam mendiagnosis karsinoma tiroid, namun memiliki spesifitas yang tinggi.

**Kata kunci :** Uji diagnostik, ultraosografi, karsinoma tiroid

- 
- 1) Mahasiswa Fakultas Kedokteran UNDIP Semarang
  - 2) Staf pengajar bagian Ilmu Penyakit Dalam Fakultas Kedokteran UNDIP Semarang
  - 3) Staf pengajar bagian Mikrobiologi Fakultas Kedokteran UNDIP Semarang

## **DIAGNOSTIC TEST OF ULTRASONOGRAPHY COMPARED WITH HISTOPATHOLOGY TO DIAGNOSE THYROID CARCINOMA**

*Yenny Kartika<sup>1</sup>, Heri Hugroho<sup>2</sup>, Rebriarina Hapsari<sup>3</sup>*

### **ABSTRACT**

**Background :** Thyroid nodule is a common seen clinical problem. The frequency of malignancy in thyroid nodul is 5-10 %. It's very important to diagnose it earlier because the thyroid cancer progression is slow and survival rate can be longer if therapy is given early. Ultrasonography (USG) becomes first line tool to evaluate nodule thyroid and has benefit such as a better comfort for patients and lower cost.

**Objective :** To describe diagnostic value of USG compared with histopathology to diagnose thyroid carcinoma in patients of RSUP Dr. Kariadi.

**Method :** Subject of this study was patient of RSUP Dr. Kariadi who had thyroid nodule and had been examined by USG and histopathology on January 2008-Desember 2011. Result data of USG and histopathology from each sampel were collected to be analized according to formula to get sensitivity value, specificity value, positif predictive value, and negative predictive value.

**Result :** Total subject of this research was 58. In this study, result of USG sensitivity value was 51,72 %, specificity value was 86,7 %, positive predictive value was 78,94 %, and negative predictive value was 64,1 %.

**Conclusion :** USG doesn't have very high sensitivity to diagnose thyroid carcinoma, but USG has high specificity.

**Keyword :** Disagnostic test, ultrasonography, thyroid carcinoma

- 
- 1) Student of Medical Faculty of Diponegoro University Semarang
  - 2) Lecturer staff of Interne Department of Medical Faculty in Diponegoro University Semarang
  - 3) Lecurer staff of Microbiology Department of Medical Faculty in Diponegoro University Semarang

## **BAB I**

### **PENDAHULUAN**

#### **1.1 Latar Belakang**

Tumor ganas atau kanker tergolong salah satu penyakit tidak menular. Kanker tiroid termasuk dalam kesembilan dari urutan insiden kanker di Indonesia, tetapi kanker kelenjar tiroid termasuk banyak ditemukan. Kanker tiroid merupakan keganasan pada kelenjar endokrin yang paling sering dijumpai.<sup>1-3</sup> Insidennya meliputi 90% dari keseluruhan kelenjar endokrin.<sup>1,3</sup> Dari seluruh keganasan yang terjadi pada pria, hanya 0,85% adalah keganasan pada kelenjar tiroid. Sedangkan pada wanita, keganasan tiroid sebesar 2,5% dari seluruh keganasan.

Nodul tiroid adalah masalah klinik yang umum dijumpai. Studi epidemiologi menunjukkan bahwa prevalensi nodul tiroid ditemukan kurang lebih 5% pada wanita dan 1% pada pria.<sup>4,5</sup> Frekuensi keganasan pada nodul tiroid telah dilaporkan yaitu sebesar 5-10%. Sangat penting untuk mendiagnosis seawal mungkin karena progresifitas kanker tiroid adalah lambat dan kelangsungan hidup bisa panjang jika diberikan terapi sedini mungkin.<sup>6-8</sup> Nilai mortalitas untuk kanker tiroid per 100.000 individu adalah 0,2-1,2 pada pria dan 0,4-2,8 pada wanita.<sup>9</sup> Bila dilihat dari jenis karsinomanya, kurang lebih 90% adalah karsinoma papilare dan folikuler, 5-9 % berjenis karsinoma medulare, 1-2% berjenis anaplastik, sedangkan 1-3% adalah jenis karsinoma lainnya.<sup>10,11</sup>

Sebagai pembantu dalam menunjang diagnosis karsinoma tiroid, dapat dilakukan melalui pemeriksaan laboratorium, melalui pencitraan misalnya dengan ultrasonografi (USG), biopsi aspirasi jarum halus (BAJAH), dan pemeriksaan biopsi patologi anatomi. Sebagai baku emas untuk penegakkan diagnosis adalah dengan pemeriksaan biopsi patologi anatomi.

Pemeriksaan pencitraan yang sering digunakan sebagai evaluasi awal adalah USG, sedangkan *Magnetic Resonance Imaging* (MRI) dan *Computerized Tomographic scanning* (CT-scan) tidak direkomendasikan untuk evaluasi keganasan tiroid karena tidak memberikan keterangan diagnosis yang berarti dan juga dari segi biaya yang mahal. MRI dan CT scan dilakukan bila ingin mengetahui adanya perluasan struma substernal atau adanya kompresi trakhea.<sup>10</sup>

Ultrasonografi (USG) sebagai pemeriksaan penunjang ada awal evaluasi nodul tiroid dilakukan untuk menentukan ukuran dan jumlah nodul. USG memiliki kemampuan untuk menentukan multinodularitas yang tidak teraba dengan palpasi. USG juga dapat menemukan nodul dengan ukuran kurang dari 1 cm. USG menjadi lini pertama untuk mengevaluasi adanya nodul tiroid.<sup>10</sup> Beberapa keuntungan USG yaitu tidak memerlukan persiapan yang rumit, tidak invasif, dan dari segi biaya lebih murah dibandingkan jenis pemeriksaan lain seperti biopsi patologi anatomi atau FNA (*Fine Needle Aspiration*). Sebuah studi yang dilakukan oleh Tan WJ et al. mengemukakan bahwa sensitivitas USG adalah sebesar 41.4%, sedangkan untuk FNA adalah sebesar 86.4% dan *frozen section* adalah sebesar 68.8%.<sup>12</sup> Studi lain yang dilakukan oleh Maia et al. pada tahun 2011 mengemukakan bahwa USG menunjukkan perbedaan karakteristik

ditemukan dalam kelompok keganasan yang diteliti, seperti mikrokalsifikasi, tepi ireguler, dan hipoekogenitas. Setelah dilakukan multivarian analisis, tepi ireguler, mikrokalsifikasi dan ukuran nodul lebih dari 2 cm adalah sebagai faktor prediktif keganasan dengan akurasi 81,7 %.<sup>13</sup>

Pemeriksaan biopsi patologi anatomi menjadi baku emas karena mampu membedakan secara signifikan antara tumor jinak dan ganas, serta dapat mengetahui asal sel tumor dan jenisnya.<sup>11</sup> Kekurangan pemeriksaan biopsi patologi anatomi , yaitu prosesnya yang invasif dan harganya yang relatif lebih mahal.

Peneliti tertarik untuk melakukan penelitian tentang nilai diagnostik USG dalam mendiagnosis karsinoma tiroid di RSUP Dr. Kariadi Semarang karena dengan pemeriksaan USG pasien mendapatkan keuntungan dalam hal biaya dan kenyamanan yang lebih baik, serta untuk mengetahui seberapa besar kemampuan USG dalam membantu diagnosis karsinoma tiroid di RSUP Dr. Kariadi

## **1.2 Permasalahan Penelitian**

Bagaimanakah nilai diagnostik ultrasonografi (USG) dibandingkan dengan biopsi patologi anatomi dalam mendiagnosis karsinoma tiroid?

## **1.3 Tujuan Penelitian**

### **1.3.1 Tujuan Umum**

Tujuan umum penelitian ini adalah menjelaskan nilai diagnostik USG dibandingkan dengan biopsi patologi anatomi dalam mendiagnosis karsinoma tiroid pada pasien di RSUP Dr. Kariadi Semarang

### **1.3.2 Tujuan khusus**

- 1) Membuktikan nilai sensitivitas pemeriksaan ultrasonografi dalam mendiagnosis karsinoma tiroid.
- 2) Membuktikan nilai spesivitas pemeriksaan ultrasonografi dalam mendiagnosis karsinoma tiroid.
- 3) Membuktikan nilai ramal positif pemeriksaan ultrasonografi untuk diagnosis karsinoma tiroid.
- 4) Membuktikan nilai ramal negatif metode pemeriksaan ultrasonografi untuk diagnosis karsinoma tiroid.

### **1.4 Manfaat Penelitian**

- 1) Manfaat di bidang pendidikan

Diharapkan penelitian ini dapat menambah pengetahuan tentang tes ultrasonografi yang dapat digunakan untuk membantu penegakkan diagnosis karsinoma tiroid.

- 2) Manfaat di bidang penelitian

Diharapkan penelitian ini dapat menjadi masukan untuk penelitian selanjutnya, terutama pada penelitian untuk menemukan alternatif dalam membantu penegakkan diagnosis untuk karsinoma tiroid yang lebih efektif dan efisien.

- 3) Manfaat di bidang pelayanan

Diharapkan jika hasil pemeriksaan ultrasonografi ini memiliki spesivitas dan sensitivitas yang tinggi, maka ultrasonografi dapat

digunakan untuk membantu diagnosis karsinoma tiroid yang lebih terjangkau dan nyaman bagi pasien.

### 1.5 Keaslian Penelitian

Tabel 1. Keaslian Penelitian

Peneliti/Tahun	Jumlah sampel	Metode	Hasil
Maia FF, Matos PS, SilvaP, Pallo ne AT, Pavin EJ, Vassallo J, Zantut-Wittmann DE. 2011. <i>Role of ultrasoun d, clinical and scientigraphyc parameters to predict malignancy in thyroid nodule.</i> <sup>13</sup>	143 pasien yang di lakukan terapi bedah, 65% jinak dan 35% dengan lesi ganas.	Penelitian ini membandingkan hasil USG, skintigrafi, dan hasil laboratorium dengan hasil histologi kelompok nodul ganas.	Tidak perbedaan antara jenis kelamin, serum TSH, dan FT4, autoantibodi tiroid, disfungsi tiroid, dan hasil skintigrafi antara kelompok nodul jinak dan ganas. USG menunjukkan perbedaan ketika terdapat kecurigaan karakteristik ditemukan dalam kelompok nodul ganas.
Tan WJ, Sanghvi K, Liau KH, Low CH. 2011. An audit study of the sensitivity and specificity of ultrasound, fine needle aspiration cytology and frozen section in the evaluation of thyroid malignancies in a tertiary institution. <sup>12</sup>	112 pasien yang dilakukan pembedahan tiroid dalam kurun waktu 3 tahun	Penelitian ini meninjau ulang secara retrospektif rekam medik pasien yang mendapatkan terapi bedah. Hasil USG, FNA, dan frozen section dibandingkan dengan hasil histologi.	Hasil penelitian tersebut menunjukkan sensitivitas dari USG adalah 41,4%, FNA sebesar 86,4%, dan frozen section sebesar 68,8%

Perbedaan penelitian ini dengan penelitian sebelumnya adalah karena penelitian ini merupakan uji diagnostik yang dilakukan dengan membandingkan ultrasonografi dengan biopsi patologi anatomi dan adanya perbedaan tempat penelitian.

## **BAB II**

### **TINJAUAN PUSTAKA**

#### **2.1 Nodul dan Karsinoma Tiroid**

##### **2.1.1 Nodul Tiroid**

Nodul tiroid dapat bervariasi dalam ukuran, yaitu dari beberapa milimeter sampai beberapa sentimeter. Nodul yang berukuran besar dapat menempati separuh dari kelenjar tiroid dan dapat dilihat tanpa menggunakan alat apapun. Dalam mendeteksi nodul yang berukuran sangat kecil diperlukan alat bantu, yaitu misalnya menggunakan ultrasonografi. Ketika nodul tiroid berukuran lebih dari 1 cm telah terdeteksi, biasanya akan dilakukan evaluasi untuk menentukan nodul tersebut berupa keganasan atau bukan.<sup>14</sup>

Nodul tiroid merupakan keadaan yang umum dijumpai di seluruh dunia. Kira - kira 10 - 40% populasi akan mengalami adanya nodul tiroid sepanjang hidupnya.<sup>6</sup> Sebagian besar nodul adalah jinak, yaitu sekitar 90% dari keseluruhan nodul tiroid dan lebih sering dijumpai pada wanita. Beberapa pemeriksaan dapat dilakukan dalam mengevaluasi nodul tiroid dan ada yang dapat digunakan untuk membantu dalam apakah nodul tiroid tersebut jinak ataupun ganas, antara lain:

##### **1) Anamnesis dan Pemeriksaan Fisik**

Kebanyakan dari nodul tiroid ditemukan sendiri oleh pasien atau saat pemeriksaan fisik. Dengan palpasi dapat memperkirakan lokasi dan ukuran dari nodul, walaupun tidak secara akurat. Nodul yang teraba biasanya mempunyai

ukuran lebih dari 1.5 cm, namun hal ini juga bergantung pada letak dan bentuk dari leher pasien. Dengan pemeriksaan fisik dapat juga untuk melihat pergerakan nodul saat menelan, mengestimasi adanya pembesaran limfonodi di sekitar leher yaitu di daerah supraklavikula dan jugulo - karotid, yang sering terjadi pada karsinoma papilifer, juga dapat diketahui melalui pemeriksaan daerah leher.<sup>14</sup>

Selain lokasi dan ukuran, palpasi juga dapat memperkirakan konsistensi dari nodul. Adanya konsistensi nodul yang padat dan ireguler atau menempel pada jaringan sekitar, paralisis dari pita suara, disertai dengan pembesaran kelenjar limfe yang terpalpasi, dapat mengarah pada kecurigaan keganasan. Kecurigaan yang dapat mengarah kepada keganasan adalah apabila:<sup>14,15</sup>

- Pertumbuhan yang cepat
- Adanya riwayat keluarga menderita karsinoma tiroid medulare
- Adanya riwayat keluarga mengalami *Multiple Endocrine Neoplasia 2* (MEN – 2)
- Usia muda (kurang dari 20 tahun)
- Laki-laki
- Adanya riwayat telah dilakukan radiasi kepala
- Gejala kompresif, misalnya masalah dalam menelan atau bernafas.
- Nodul yang besar (lebih dari 4 cm)
- Tekstur keras
- Nodul yang terfiksasi pada jaringan sekitar
- Adanya paralisis pita suara atau suara serak
- Pembesaran kelenjar limfonodi

## 2) Pemeriksaan Laboratorium

Pengukuran kadar serum *Thyroid Stimulating Hormone* (TSH) dilakukan untuk menyingkirkan disfungsi tiroid, namun pemeriksaan ini tidak berguna untuk membedakan jenis jinak atau ganas.<sup>11</sup>

Pemeriksaan terhadap kadar serum tiroglobulin adalah petanda tumor yang berguna untuk digunakan sebagai *follow up* pasca dilakukannya pembedahan karsinoma tiroid. Beberapa studi menunjukkan bahwa pemeriksaan rutin dari kalsitonin pada pasien dengan nodul tiroid bisa digunakan untuk diagnosis preoperatif dari karsinoma tiroid medulare.<sup>11</sup>

## 3) Pencitraan

Peran skintigrafi tiroid dalam evaluasi diagnostik dari nodul tiroid bisa digunakan untuk membedakan antara nodul hangat, yang biasanya adalah jinak, dan nodul dingin. Pemeriksaan skintigrafi ini memiliki sensitivitas yang rendah untuk mendeteksi nodul tiroid yang kecil dan tidak berguna untuk nodul yang bersifat kistik.<sup>11</sup>

Ultrasonografi (USG) tiroid yang dilakukan dengan frekuensi tinggi (7,5-13 MHz), menjadi banyak digunakan sebagai pilihan pertama untuk evaluasi dari sebuah nodul. USG dapat mendeteksi adanya nodul padat yang berukuran 3 mm dan kistik nodul yang berukuran 2 mm. Dengan teknik pencitraan dari USG juga dapat membedakan komponen dari nodul, yaitu padat, kistik, atau campuran, serta dapat memperkirakan ukuran dari nodul tersebut. Beberapa ciri yang didapatkan dari hasil USG dapat mengarah menuju keganasan, seperti misalnya nodul yang hipoekoik, tepi yang ireguler, adanya mikrokalsifikasi dan hipervaskularisasi.

Nilai prediktif dari USG tidak terlalu tinggi, sehingga semua nodul tiroid harus dilakukan biopsi jarum halus untuk menentukan diagnosis secara lebih akurat.<sup>11</sup>

#### 4) Biopsi Aspirasi Jarum Halus

Biopsi aspirasi jarum halus adalah pengambilan sejumlah kecil bagian dari sel atau cairan dari nodul tiroid menggunakan jarum yang sangat kecil. Prosedur ini aman untuk dilakukan. Sel-sel yang telah diambil akan dianalisa menggunakan mikroskop oleh ahli sitologi dan kemudian dapat dikategorikan menjadi jinak atau ganas.<sup>14</sup>

### 2.1.2 Karsinoma Tiroid

#### 2.1.2.1 Klasifikasi

##### 1) Dari sel epitelial

- Karsinoma folikuler

Dari seluruh keganasan tiroid, 10% merupakan karsinoma jenis folikuler. Karsinoma folikuler biasanya banyak terjadi pada usia 40-60 tahun, dan lebih banyak pada wanita dibandingkan pria. Karsinoma folikuler cenderung kurang agresif pada orang dengan usia di bawah 40 tahun dibandingkan usia di atas 40 tahun karena respon radioaktif cenderung lebih baik pada usia yang lebih muda.

Karsinoma tiroid folikuler cenderung menginvasi vena dan arteri dari kelenjar tiroid dan juga organ jauh, seperti paru-paru, tulang, otak, hati, dan kulit. Hanya sekitar 15% dari karsinoma folikuler yang menyebar ke limfonodi, hal ini bertolakbelakang dengan karsinoma papilifer.<sup>16</sup>

- Karsinoma papilifer

Sekitar 80% keganasan tiroid merupakan jenis papilifer dan karsinoma jenis ini banyak terjadi pada usia 30 - 50 tahun. Kanker tiroid jenis papilifer memiliki kecenderungan untuk menyebar, biasanya ke limfonodi di leher. Hal ini mengakibatkan kanker jenis ini cenderung untuk timbul kembali. *Ten years survival rate* nya berkisar antara 80 - 90%. Mayoritas orang dengan karsinoma papilifer tidak akan terjadi metastasis namun terkadang dapat dijumpai metastasis jauh ke paru-paru atau tulang.

- Karsinoma anaplastik

Karsinoma anaplastik merupakan jenis karsinoma tiroid yang jarang ditemukan, yaitu kurang dari 5% dari seluruh keganasan tiroid. Karsinoma anaplastik memiliki kecenderungan untuk tumbuh secara cepat, sehingga diperlukan terapi sedini mungkin.<sup>11</sup>

## 2) Dari derivat sel C

- Karsinoma medulare

Karsinoma medulare merupakan jenis yang jarang dijumpai. Karsinoma jenis ini berkembang dari sel parafolikuler (sel C), dimana tidak dapat memproduksi hormon atau menangkap iodine, sehingga radioaktif idone tidak dapat digunakan sebagai terapi untuk karsinoma medulare. Pembedahan adalah terapi utama untuk karsinoma medulare.<sup>17</sup>

#### **2.1.2.2 Tanda dan Gejala**

Sebagian besar keganasan tiroid tidak memberikan gejala yang berat, kecuali pada keganasan anaplastik yang sangat cepat membesar bahkan dalam hitungan minggu. Keluhan penekanan pada esofagus dan trachea terjadi pada sebagian kecil pasien, terutama dengan ukuran nodul yang besar. Keluhan lain yang sering dijumpai adalah suara serak.

#### **2.1.2.3 Faktor Prognosis**

Faktor prognosis dapat digunakan sebagai pertimbangan dalam mengambil keputusan jenis tatalaksana yang diberikan. Dengan adanya pertimbangan ini, diharapkan dalam menentukan penatalaksanaan yang lebih selektif. Ada beberapa faktor kriteria untuk dapat menentukan faktor prognosis tersebut, diantaranya yaitu AMES (*age, metastatic, extent, size*), DAMES (AMES + pemeriksaan DNA sel tumor dengan *flow cytometry*), AGES (*age, grade, extent, size*), dan MACIS (*metastatic, age, completeness of resection, invasion, size*).

#### **2.1.2.4 Diagnosis**

Dalam menentukan diagnosis suatu keganasan tiroid, seorang dokter perlu mendapatkan informasi selengkap mungkin dari setiap pasien. Selain itu juga perlu dilakukan pemeriksaan yang dapat membantu dalam menentukan nodul mana yang merupakan suatu keganasan. Dua pemeriksaan informatif yang pada umumnya digunakan adalah ultrasonografi tiroid dan biopsi aspirasi jarum halus.<sup>14</sup>

Ultrasonografi mampu memvisualisasikan keseluruhan kelenjar tiroid dan nodul yang ada pada kelenjar. Beberapa gambaran dari ultrasonografi dapat mengarahkan menuju suatu keganasan, misalnya gambaran nodul yang hipoekoik atau lebih gelap dari jaringan sekitarnya, adanya mikrokalsifikasi, dan gambaran vaskularisasi yang meningkat. Nodul tiroid yang berukuran lebih dari 1,5 cm, mempunyai gambaran ultrasonografi yang mengarah keganasan, dan adanya tanda fisik mayor keganasan tiroid misalnya suara serak atau pembesaran kelenjar limfe, perlu dilakukan biopsi.<sup>14</sup>

## 2.2 Pemeriksaan Ultrasonografi untuk Karsinoma Tiroid

Ultrasonografi(USG) merupakan salah satu modalitas yang digunakan untuk *screening* awal adanya nodul kelenjar tiroid. USG lebih digunakan untuk melihat bentuk anatomi tiroid. USG ini membedakan nodul kistik atau nodul padat. Di antara modalitas pencitraan moderen, USG dengan resolusi tinggi adalah modalitas paling sensitif untuk mendeteksi nodul tiroid.<sup>18</sup> USG juga dapat mengevaluasi ukuran dan karakteristik dari nodul yang tidak dapat dipalpasi dan dapat mendiagnosis metastasis limfonodi.

Beberapa gambaran USG dapat mengarahkan kepada jenis karsinoma., walaupun tidak secara spesifik. Pada karsinoma papilifer, gambaran nodul adalah solid, hipoekoik, dan ireguler, mempunyai komponen kistik sekitar 20-30%, *halo sign* yang inkomplit, dan adanya kalsifikasi. Pada karsinoma folikuler, gambaran nodul adalah solid dengan iso atau hipoekoik, beberapa ada yang memiliki komponen kistik, dan adanya *halo sign*. Pada karsinoma medulare, gambarannya juga hampir sama yaitu nodul yang solid, hipoekoik dan ireguler, dan adanya

*chaotic vasculature*. Pada karsinoma jenis anaplastik, nodul memiliki gambaran yang solid, hipoekoik, massa besar yang ireguler, dan hipovaskuler dengan adanya kemungkinan nekrosis.<sup>15</sup>

Secara umum terdapat beberapa gambaran USG yang dapat mengarah kepada adanya keganasan pada nodul tiroid, yaitu:

1) Ukuran Nodul

Ukuran nodul tidak terlalu membantu dalam membedakan nodul ganas dengan nodul jinak. Ukuran nodul lebih digunakan untuk tujuan *follow-up* pasien. Nodul kistik menunjukkan pertumbuhan yang lebih lambat daripada nodul padat.<sup>19</sup>

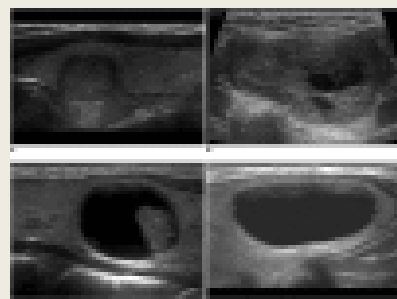
2) Komponen nodul

Nodul kistik jarang ditemukan pada karsinoma tiroid, namun komponen kistik ditemukan pada 13-26% dari keseluruhan karsinoma tiroid.<sup>20</sup> Sekitar 5% dari nodul kistik telah dilaporkan menjadi suatu keganasan pada studi akhir - akhir ini.<sup>21</sup> Adanya komponen padat dengan vaskularisasi, lokasi eksentrik dari bagian padat atau mikrokalsifikasi dapat diasumsikan sebagai nodul ganas, terutama pada karsinoma tiroid papilifer.<sup>21-23</sup>

Nodul dengan mikrokistik multipel yang dipisahkan dengan *septae* tipis atau parenkim isoekoik (*spongiform appearance*) dipercaya merupakan nodul jinak dengan spesivitas 99,7% - 100%.<sup>24,25</sup>

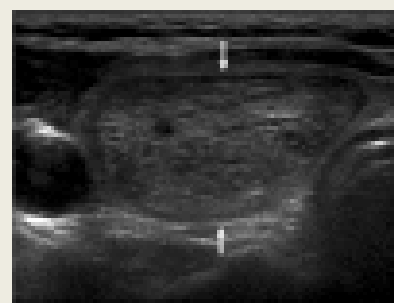
Beberapa penelitian mengkatogerisaskan jenis isi nodul menurut rasio antara bagian kistik dengan bagian padat. Kategori tersebut adalah:

*solid* ( bagian kistik  $\leq 10\%$  ), *predominantly solid* ( bagian kistik  $> 10\%$  dan  $\leq 50\%$  ), *predominantly cystic* ( bagian kistik  $> 50\%$  dan  $\leq 90\%$  ), dan *cystic* (bagian kistik  $> 90\%$  ) Definisi dari *spongiform appearance* adalah agregasi dari komponen mikrokistik multipel lebih dari 50% volume nodul.



Gambar 1. Gambaran USG dari komponen nodul tiroid

Sumber: Maia et al. Role of Ultrasound, clinical and scintigraphyic parameters to predict malignancy in thyroid nodule.<sup>13</sup>



Gambar 2. *Spongiform appearance* pada USG

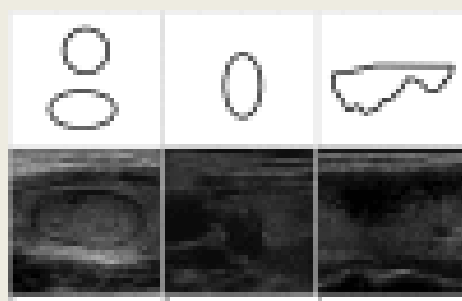
Sumber: Maia et al. Role of Ultrasound, clinical and scintigraphyic parameters to predict malignancy in thyroid nodule.<sup>13</sup>

### 3) Bentuk Nodul

Bentuk nodul mempunyai peran penting dalam membedakan nodul jinak dan ganas, hal ini dijelaskan dalam studi oleh Kim et al.<sup>26</sup> Kim dan

koleganya melaporkan bahwa bentuk tinggi lebih dari lebar menunjukkan sebagai nodul ganas dengan spesivitas 93%. Pada studi *multicenter* yang lebih besar, bentuk tinggi lebih dari panjang menunjukkan sugestif lebih tinggi untuk keganasan dengan spesivitas 89% dan nilai prediktif positif 86%.<sup>24</sup> Penemuan ini menunjukkan bahwa nodul ganas tumbuh melewati jaringan normal dalam jalur sentrifugal, sedangkan nodul jinak tumbuh dengan cara paralel.<sup>27,28</sup>

Nodul dengan batas ireguler juga sering dijumpai pada bentuk-bentuk jinak seperti tiroiditis fokal, sama halnya dengan nodul ganas. Ada juga studi yang mengkatalogisasikan bentuk nodul menjadi: ovoid sampai bundar (jika diameter anteroposterior nodul sebanding atau kurang dari diameter transversal dalam bidang transversal atau longitudinal), tinggi lebih dari panjang (jika diameter anteroposterior nodul lebih panjang dari diameter transversalnya), atau ireguler (jika bukan termasuk kriteria ovoid atau tinggi lebih dari panjang).<sup>29</sup>

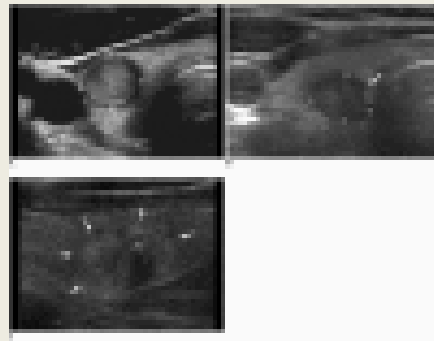


Gambar 3. Gambaran USG dari bentuk nodul tioid

Sumber: Maia et al. Role of Ultrasound, clinical and scintigraphyic parameters to predict malignancy in thyroid nodule.<sup>13</sup>

#### 4) Tepi nodul

Studi yang dilakukan oleh Won Ji Moon et al. membagi tepi dari nodul tiroid dibagi menjadi *smooth*, *spiculated/microlobulated*, dan *ill-defined*. Studi tersebut juga melaporkan bahwa jika *spiculated* atau *microlobulated* dan *ill-defined* adalah sugestif keganasan.<sup>26,30</sup> *Spiculated margin* mempunyai sugestif tinggi dalam memprediksi keganasan dengan spesivitas 92% dan nilai prediktif positif sebesar 81%.



Gambar 4. Gambaran USG dari tepi nodul tiroid

Sumber: Maia et al. Role of Ultrasound, clinical and scintigraphyic parameters to predict malignancy in thyroid nodule.<sup>13</sup>

#### 5) Ekogenisitas

Nodul hipoekoik sering merupakan suatu keganasan daripada nodul yang hiperekoik. Komponen padat harus dipertimbangkan dalam ekogenisitas. Jika komponen padat adalah heterogen, ekogenisitas nodul didefinisikan menurut mayoritas nodul. Hipoekogenisitas memiliki spesivitas tinggi untuk nodul ganas yaitu sebesar 92 - 94%.<sup>26,30</sup> Walaupun ekogenisitas parenkim kelenjar tiroid bervariasi di antara masing - masing individu, ekogenisitas dapat dipakai sebagai referensi ekogenisitas nodul.

Referensi lain untuk menentukan ekogenisitas nodul adalah *strap muscle* dengan ekogenisitas rendah seperti otot sternohyoid, otot sternothyroid, dan otot sternocleidomastoid.<sup>24,26,30</sup>

Beberapa peneliti menyarankan bahwa ekogenisitas nodul dikategorisasikan menurut ekogenisitas relatif dibandingkan dengan referensi di atas. Nodul dengan *marked hypoechoic* (jika nodul adalah relatif hipoekoik dibandingkan *strap muscle*), *hypoechoic* (jika nodul relatif hipoekoik dibandingkan parenkim tiroid), *isoechoic* (jika nodul mempunyai ekogenisitas yang sama dengan parenkim tiroid), dan *hyperechoic* (jika nodul relatif ekogenik dibandingkan parenkim tiroid).

## 6) Kalsifikasi

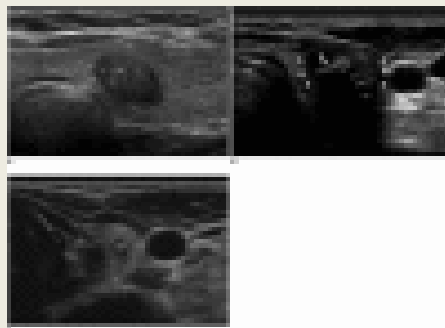
Kalsifikasi dapat nampak pada nodul jinak maupun ganas. Kalsifikasi dapat merupakan mikrokalsifikasi, *coarse* atau makrokalsifikasi atau kalsifikasi perifer dalam nodul tiroid. Secara patologis, mikrokalsifikasi adalah *psammoma body* yang berdiameter 10-100 µm, laminer, kristalin, deposit kalsifikasi, yang sangat spesifik untuk karsinoma tiroid, terutama karsinoma jenis papilifer.

Mikrokalsifikasi pada USG merupakan suatu temuan yang sangat mengarah kepada keganasan dengan spesivitas 86 - 95% dan memiliki nilai prediktif positif sebesar 42 - 94%.<sup>24,26,30-32</sup> Kalsifikasi yang besar dan ireguler dapat berkembang secara sekunder karena adanya nekrosis jaringan dan kalsifikasi ini dapat ditemukan pada nodul jinak maupun ganas. Nodul

padat dengan makrokalsifikasi yang lebih besar dari 1 mm lebih mengarah ke nodul ganas dibandingkan ke nodul jinak. Arti dari ditemukannya kalsifikasi perifer, *eggshell*, maupun *rim calsification* masih diperdebatkan untuk membuat perbedaan di antara nodul jinak dan ganas. Beberapa studi menemukan bahwa ketika nodul mempunyai *eggshell* atau *rim calsification*, halo hipoekoik, dan atau rusaknya kalsifikasi *eggshell*, maka sudah mengarah pada suatu keganasan.<sup>24,33-35</sup>

Pada USG, kalsifikasi ditentukan sebagai fokus ekogenik yang menonjol dengan atau tanpa *shadowing* posterior. Tidak adanya *shadowing* posterior tidak menghilangkan kemungkinan adanya kalsifikasi karena beberapa kalsifikasi berukuran terlalu kecil untuk memproduksi *shadowing posterior*. Ketika fokus tanda ekogenik disertai juga dengan reverberation artefact, hal itu bisa dikarenakan material koloid dan bisa dibedakan dengan mudah dari kalsifikasi pada *real time USG*.

Beberapa peneliti mengkategorisasikan kalsifikasi menurut ukurannya, yaitu mikrokalsifikasi ( jika kalsifikasi kecil, fokus tanda ekogenik 1 mm atau kurang, dengan atau tanpa *posterior shadowing* ), makrokalsifikasi ( jika fokus tanda ekogenik lebih besar dari 1 mm ), dan *rim calsification* ( jika nodul mempunyai kalsifikasi *periferal curvilinear* atau *eggshell* ).



Gambar 5. Gambaran USG dari kalsifikasi nodul tiroid

Sumber: Maia et al. Role of Ultrasound, clinical and scintigraphyic parameters to predict malignancy in thyroid nodule.<sup>13</sup>

#### 7) Perluasan Ekstrakapsuler

Perluasan ekstrakapsuler ditemukan pada 36% kasus dari semua keganasan tiroid ketika pembedahan.<sup>30</sup> Invasi lokal agresif merupakan sesuatu yang umum ada pada karsinoma anaplastik, limfoma, dan sarkoma. Seorang radiologis harus mencari apakah sebuah nodul melebihi kapsul tiroid dan menginvasi struktur di sekitar, seperti trakhea, esophagus, dan kartilago tiroid.

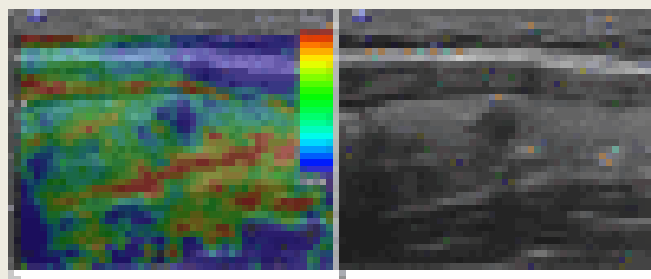
#### 8) Vaskularisasi Tumor

*USG Color Doppler* atau *USG power Doppler* dapat digunakan untuk mengevaluasi vaskularisasi dari nodul tiroid. Hipervaskularisasi intratumor ditemukan pada 69 - 74% kasus karsinoma tiroid, hal tersebut merupakan temuan yang nonspesifik. Aliran perinodular terutama merupakan karakteristik untuk nodul jinak, namun aliran perinodular juga ditemukan pada 22% nodul ganas.<sup>22</sup> Menurut beberapa studi, indek resistif ,

kecepatan sistolik maksimal, dan pola vaskularisasi pada USG *Doppler* tidak banyak membantu untuk membedakan nodul jinak atau ganas. Dengan alasan itulah, penggunaan USG *Color Doppler* dan USG *power Doppler* tidak direkomendasikan untuk digunakan secara rutin pada nodul tiroid.<sup>36,37</sup>

#### 9) Elastrografi USG

Elastrografi USG merupakan teknik baru untuk mengukur elastisitas jaringan. Jaringan karsinoma bersifat lebih keras dan kuat daripada parenkim tiroid normal atau nodul tiroid. Elastrografi menghitung kekokohan jaringan dan digambarkan dalam peta elastrografi. *Strain index* pada elastrografi telah disarankan sebagai faktor prediktif yang baik untuk nodul tiroid.<sup>38</sup>



Gambar 6. Elastrografi USG

Sumber: Maia et al. Role of Ultrasound, clinical and scintigraphyic parameters to predict malignancy in thyroid nodule.<sup>13</sup>

### 2.3 Pemeriksaan Biopsi Patologi Anatomi untuk Karsinoma Tiroid

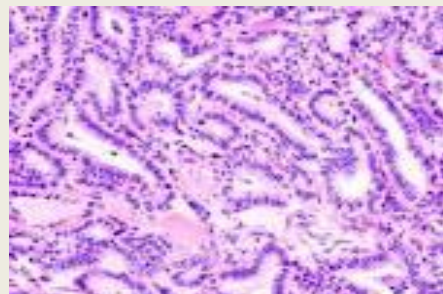
Pemeriksaan biopsi patologi anatomi atau disebut juga dengan biopsi insisional merupakan diagnostik pilihan dan merupakan *gold standart* dalam menentukan jenis nodul tiroid. Pemeriksaan ini bersifat invasif dengan mengambil

sebagian jaringan untuk kemudian diperiksa menggunakan mikroskop oleh ahli patologi anatomi.<sup>39</sup>

Kelebihan teknik biopsi patologi anatomi dibandingkan dengan biopsi aspirasi jarum halus adalah biopsi patologi anatomi dapat memperoleh hasil lebih luas dan memperoleh sampel berupa jaringan sehingga didapatkan hasil yang lebih sensitif dan spesifik. Kelemahan dari teknik ini adalah karena memerlukan proses yang lebih rumit dan biaya yang lebih besar.<sup>39</sup>

Pada pemeriksaan makroskopis, karsinoma papilifer merupakan suatu neoplasma keputihan invasif dengan *ill-defined margin*. Dengan menggunakan mikroskop terlihat neoplasma yang tidak berkapsul yang mempunyai karakteristik tumbuh dengan papila yang terdiri dari epitel neoplastik menutupi tangkai fibrovaskuler. Tumor yang sangat terdiferensiasi dapat mempunyai pola yang kompleks. Nukleus memiliki *empty ground glass appearance* dengan lekukan nukleus uang khas dan adanya pseudoinklusi.<sup>40</sup>

Mitosis jarang dijumpai pada karsinoma papilifer. Gambaran mikroskopis lain adalah adanya *psammoma bodies* yang terjadi pada sekitar 50% dari karsinoma papilifer. *Psammoma bodies* adalah dasar kalsifikasi yang mempunyai tampilan sirkuler yang berlapis - lapis dan dapat ditemukan pada stroma tumor. Karsinoma papilifer biasanya multisentrik dengan fokus yang terdapat pada lobus ipsilateral dan kontralateral.<sup>39</sup>



Gambar 7. Jaringan karsinoma tiroid papilifer  
Sumber: Columbia University Medical Center.<sup>40</sup>



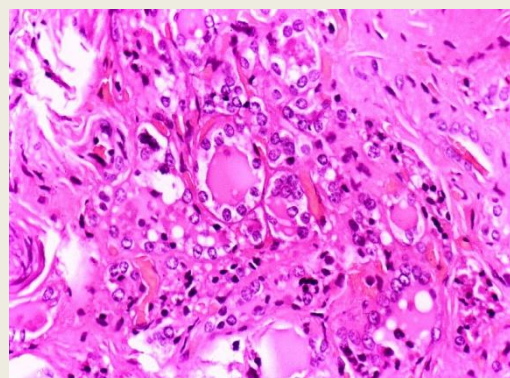
Gambar 8. *Ground glass appearance*  
Sumber: Columbia University Medical Center.<sup>40</sup>



Gambar 9. *Psammoma bodies*  
Sumber: Columbia University Medical Center.<sup>40</sup>

Pada pemeriksaan makroskopis karsinoma folikuler, biasanya tumor berbentuk bulat, berkapsul, dan berwarna coklat. Pada tumor sering ditemukan adanya fibrosis, perdarahan, dan perubahan kistik. Dengan menggunakan

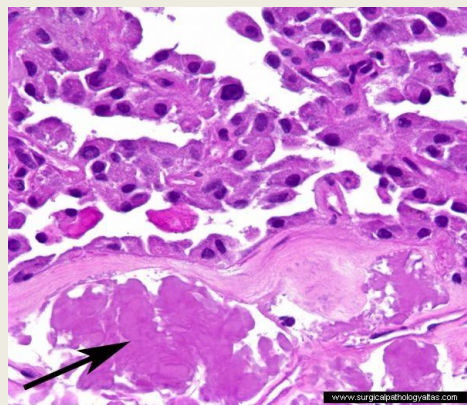
mikroskop dapat terlihat neoplasma yang terdiri dari sel folikuler yang secara garis besar dapat terdiri dari pola yang padat, trabekular, atau pertumbuhan folikuler (biasanya menghasilkan mikrofolikel). Pada karsinoma folikuler tidak ditemukan adanya gambaran khas seperti pada karsinoma papilifer. Karsinoma folikuler dapat dibedakan dari adenoma folikuler dengan adanya invasi kapsul atau invasi vaskuler. Dengan alasan inilah, membedakan adenoma folikuler dan karsinoma folikuler tidak dapat dibedakan hanya dengan menggunakan biopsi aspirasi jarum halus atau analisis dari *frozen surgery*.<sup>39</sup>



Gambar 10. Jaringan karsinoma tiroid folikuler  
Sumber: Santacroce L. Follicular Thyroid Carcinoma<sup>41</sup>

Pemeriksaan makroskopis karsinoma medulare dapat menunjukkan bentuk tumor dengan batas yang baik, walaupun tidak mempunyai kapsul. Biasanya tumor berwarna merah muda dan terdiri dari bagian granuler kuning yang merupakan adanya kalsifikasi lokal. Sebagian besar tumor tumbuh di tengah dan sepertiga atas dari lobus kelenjar tiroid, setara dengan dengan sel C parafolikuler pada kelenjar tiroid. Hasil pemeriksaan mikroskopis dapat bervariasi, biasanya pola dari tumor adalah pertumbuhan lobaris, trabekular, insuler, namun beberapa tumor mempunyai pola fibrotik. Sel ganas dapat

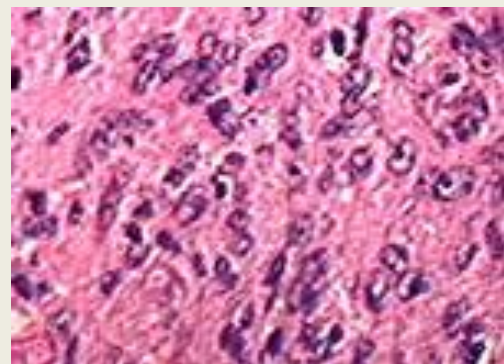
mempunyai penampakan inti bundar, poligonal, atau berbentuk spindel, sitoplasma eosinofilik dan bergranuler. Pada stroma tumor sering dijumpai adanya deposit amiloid yang berwarna *green birefringence* pada pengecatan Congo dan penampakan ini adalah karakteristik yang dapat membedakan karsinoma meduler dari keganasan jenis lain. Karakteristik lain yang didapatkan dari karsinoma meduler adalah ditemukannya hiperplasia sel C.<sup>39</sup>



Gambar 11. Jaringan karsinoma meduler  
Sumber: Columbia University Medical Center.<sup>40</sup>

Karsinoma anaplastik tiroid dengan pemeriksaan makroskopis akan terlihat sebagai tumor yang besar dan invasif. Adanya area yang nekrosis dan perdarahan memberikan penampakan yang bervariasi dari tumor. Tumor sering meluas melewati kapsul tiroid itu sendiri. Area tumor yang berdiferensiasi baik dapat juga ditemukan bersamaan dengan pertumbuhan anaplastik tersebut. Dengan menggunakan mikroskop dapat terlihat beberapa variasi sel, yaitu skuamoid, sel spindel, atau sel besar. Ketiga variasi histologik tersebut menunjukkan adanya aktifitas mitotik, fokus nekrosis yang luas, dan adanya

infiltrasi. Pada pengecatan immunohistokimia biasanya positif untuk keratin bermolekul rendah dan terkadang positif untuk tiroglobulin.<sup>39</sup>

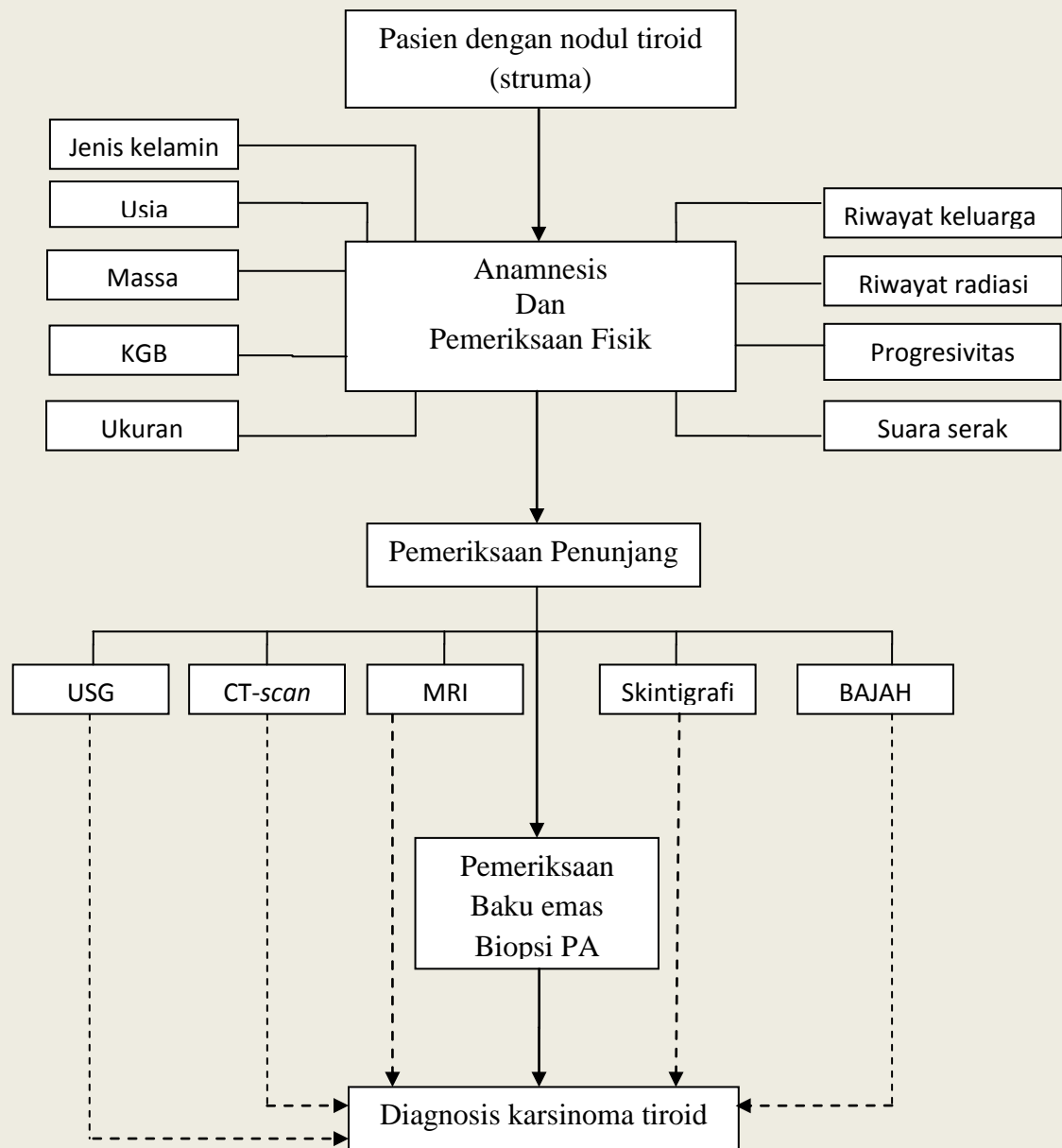


Gambar 12. Jaringan karsinoma anaplastik  
Sebagian besar terdiri dari sel spindel  
Sumber: Columbia University Medical Center.<sup>40</sup>

## BAB III

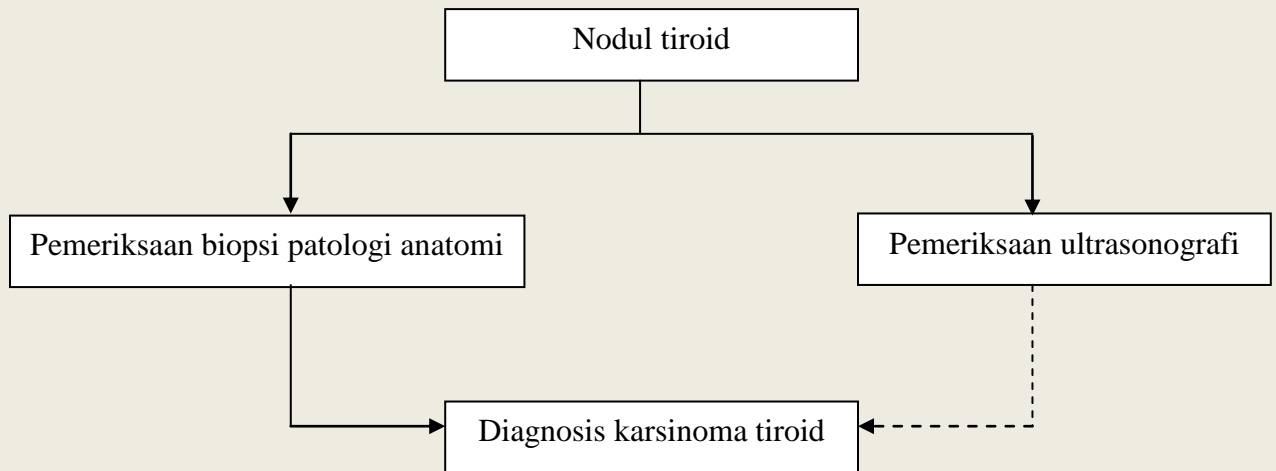
### KERANGKA TEORI, KERANGKA KONSEP, HIPOTESIS

#### 3.1 Kerangka Teori



Gambar 13. Kerangka teori

### 3.2 Kerangka konsep



Gambar 14. Kerangka konsep

## **BAB IV**

### **METODOLOGI PENELITIAN**

#### **4.1 Ruang Lingkup Penelitian**

##### **4.1.1 Ruang lingkup keilmuan**

Penelitian ini mencakup bidang Ilmu Penyakit Dalam, Radiologi, dan Patologi Anatomi.

##### **4.1.2 Ruang lingkup tempat**

Penelitian ini dilakukan di RSUP Dr. Kariadi Semarang.

#### **4.2 Tempat dan Waktu Penelitian**

Penelitian ini dilakukan dari bulan Maret sampai bulan Juli 2012 di RSUP Dr. Kariadi Semarang.

#### **4.3 Jenis dan Rancangan Penelitian**

Jenis penelitian merupakan uji diagnostik untuk menganalisis sensitivitas dan spesivitas ultrasonografi dengan menggunakan data catatan medik pasien RSUP Dr. Kariadi Semarrang periode Januari 2008 - Desember 2011

#### **4.4 Populasi dan Sampel Penelitian**

##### **4.4.1 Populasi Target**

Populasi target dari penelitian ini adalah semua pasien RSUP Dr. Kariadi yang memiliki gangguan berupa nodul tiroid.

#### **4.4.2 Populasi Terjangkau**

Populasi terjangkau dari penelitian ini adalah pasien RSUP Dr. Kariadi yang memiliki gangguan berupa nodul tiroid selama periode bulan Januari 2008 - Desember 2011.

#### **4.4.3 Sampel**

Sampel dari penelitian ini adalah pasien RSUP Dr. Kariadi yang memiliki gangguan berupa nodul tiroid selama periode bulan Januari 2008 - Desember 2011 dan telah dilakukan pemeriksaan ultrasonografi dan biopsi patologi anatomi.

##### **4.4.3.1 Kriteria Inklusi**

Semua pasien yang telah didiagnosis menggunakan biopsi patologi anatomi dan sudah dilakukan pemeriksaan ultrasonografi.

##### **4.4.3.2 Kriteria Eksklusi**

- a. Pasien yang sudah pernah dilakukan radioterapi pada kelenjar tiroid sebelum dilakukan pemeriksaan ultrasonografi dan pemeriksaan biopsi patologi anatomi.
- b. Karsinoma tiroid yang *reccurent* atau relaps.
- c. Data pembacaan hasil pemeriksaan ultrasonografi atau biopsi patologi anatomi tidak ada.

#### **4.4.4 Cara Sampling**

Cara sampling yang digunakan dalam penelitian ini adalah dengan menggunakan *consecutive sampling*.

#### 4.4.5 Besar Sampel

Besar sampel dihitung menggunakan rumus besar sampel untuk penelitian diagnostik, dengan langkah:

Menentukan besar sampel yang didiagnosis positif oleh baku emas

Sensitivitas metode ultrasonografi yang diharapkan adalah 50%. Bila dapat diterima penyimpangan ( $d$ ) untuk sensitivitas sebesar 10%. Interval kepercayaan 95% ( $\alpha=0,05$ ;  $z = 1,96$ ). Untuk uji sensitivitas diperlukan jumlah sampel minimal:

$$N = \frac{(z_\alpha)^2 PQ}{d^2}$$

Dimana:

$N$  = besar subyek yang didiagnosis positif oleh baku emas

$P$  = sensitivitas alat yang diinginkan, yaitu = 80%

$Q = 1-P$ , yaitu 0,2

$d$  = presisi penelitian yaitu 10%

$Z_\alpha$  = derivat baku alpha, yaitu 1,96

Sehingga,

$$N = \frac{(1,96)^2 \times 0,8 \times 0,2}{(0,1)^2}$$

$$N = 61,4$$

$$N = 61 \text{ subyek}$$

Jadi besar sampel minimal yang dibutuhkan adalah sebesar 61 subyek yang didiagnosis positif karsinoma tiroid menggunakan pemeriksaan baku emas yaitu biopsi patologi anatomi.

## 4.5 Variabel Penelitian

### 4.5.1 Variabel Prediktor

Variabel prediktor pada penelitian ini adalah hasil pemeriksaan Ultrasonografi (USG) dengan skala variabel nominal.

### 4.5.2 Variabel Outcome

Variabel outcome dari penelitian ini adalah hasil pemeriksaan biopsi patologi anatomi dengan skala variabel nominal.

## 4.6 Definisi Operasional

Tabel 2. Definisi operasional

No.	Variabel	Unit	Skala
1.	<p>Pemeriksaan Biopsi Patologi Anatomi (PA)</p> <p>Baku emas yang merupakan standar dalam mendiagnosis karsinoma tiroid. Pemeriksaan ini dilakukan dengan mengambil sebagian jaringan dari nodul tiroid kemudian diperiksa menggunakan mikroskop.</p> <p>Dikelompokkan menjadi:</p> <ol style="list-style-type: none"> <li>1. Karsinoma tiroid positif</li> <li>2. Karsinoma tiroid negatif</li> </ol>	-	Nominal
2.	<p>Pemeriksaan Ultrasonografi (USG)</p> <p>Metode pemeriksaan yang akan diuji sensitivitasnya dan spesivitasnya dengan baku emas. Metode ini adalah pemeriksaan dengan menggunakan sinar ultra untuk memeriksa organ internal.</p> <p>Dikelompokkan menjadi:</p> <ol style="list-style-type: none"> <li>1. Karsinoma tiroid positif</li> <li>2. Karsinoma tiroid negatif</li> </ol>	-	Nominal

## **4.7 Cara Pengumpulan Data**

### **4.7.1 Bahan**

Bahan yang digunakan dalam penelitian ini adalah data sekunder yang diperoleh dari catatan medik di RSUP Dr. Kariadi Semarang periode Januari 2008 - Desember 2011. Jika catatan medik tidak lengkap, data diperoleh dari catatan register di laboratorium Patologi Anatomi dan Ilmu Penyakit Dalam.

### **4.7.2 Alat**

Alat yang digunakan adalah alat tulis untuk mencatat data dan komputer untuk mengolah dan memproses data.

### **4.7.3 Jenis Data**

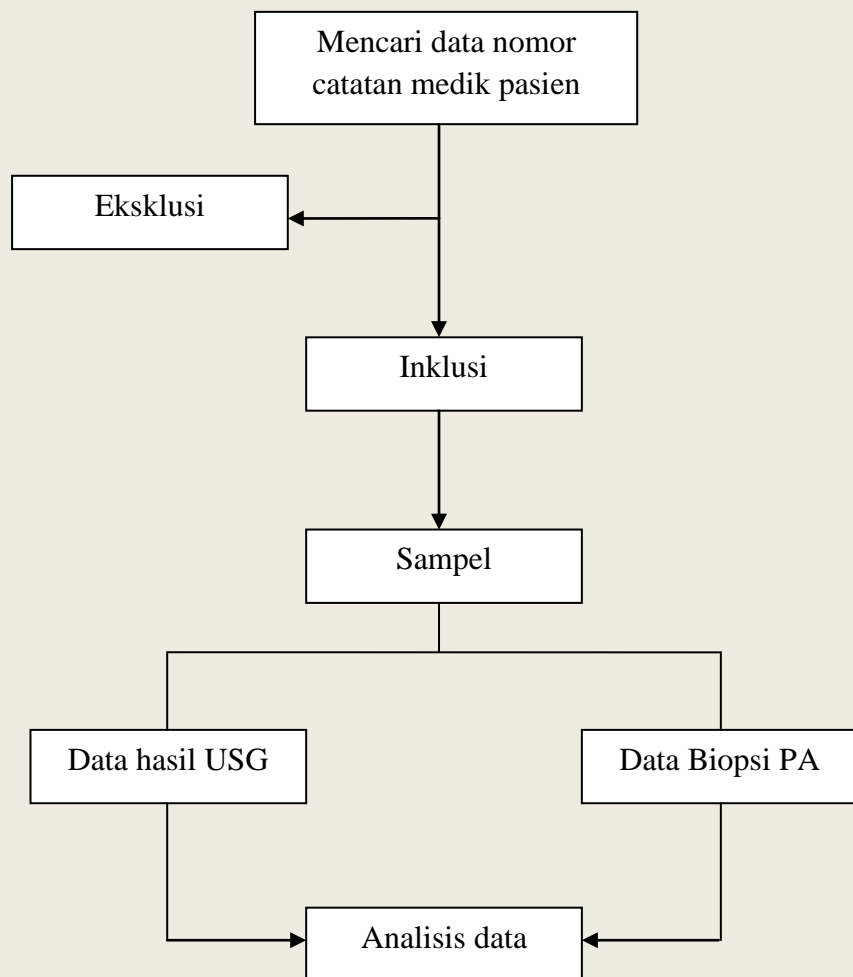
Data yang digunakan dalam penelitian ini adalah data sekunder yang didapatkan dari catatan medik RSUP Dr. Kariadi Semarang.

### **4.7.4 Cara Kerja**

Peneliti mengunjungi bagian Patologi Anatomi untuk mengumpulkan nomor catatan medik pasien dengan nodul tiroid yang telah didiagnosis dengan menggunakan biopsi patologi anatomi. Peneliti mengunjungi bagian rekam medik untuk melakukan sampling sesuai dengan nomor catatan medik yang telah terkumpul. Sampling dilakukan sesuai dengan kriteria inklusi dan eksklusi. Data hasil pemeriksaan ultrasonografi dan biopsi patologi anatomi dari setiap sampel kemudian dikumpulkan untuk dilakukan pengolahan data ke dalam komputer. Setelah dilakukan

pengolahan data, data kemudian dianalisis sesuai rumus untuk mencari sensitivitas, spesivitas, nilai ramal positif, dan nilai ramal negatif.

#### 4.8 Alur Penelitian



Gambar 15. Alur penelitian

## 4.9 Analisis Data

### 1) Pengolahan Data.

Pengolahan data dilakukan dalam beberapa tahap, yaitu:

- Coding*, yaitu data diberi kode yang sesuai dengan kriteria masing-masing variabel.
- Entry*, yaitu memasukkan data ke dalam program komputer.
- Editing* atau koreksi, meliputi kelengkapan jawaban dan tulisan yang jelas.
- Cleaning*

### 2) Analisis Data

Data hasil pemeriksaan ultrasonografi dan biopsi patologi anatomi yang telah terkumpul ditabulasi dan dimasukkan ke tabel 2x2.

Dari tabel 2x2 kemudian dilakukan penghitungan untuk mencari sensitivitas, spesifitas, nilai ramal positif dan nilai ramal negatif dari pemeriksaan ultrasonografi dalam mendiagnosis karsinoma tiroid.

Tabel 3. Tabel 2x2

		Baku emas pemeriksaan biopsi PA	
		(+) Karsinoma	(-) karsinoma
Hasil pemeriksaan USG	(+) Karsinoma	a	b
	(-) Karsinoma	c	d

Rumus perhitungan :

- Sensitivitas =  $a / (a + c)$
- Spesifitas =  $d / (b + d)$
- Nilai ramal positif =  $a / (a + b)$
- Nilai ramal negatif =  $d / (c + d)$

#### 4.10 Etika Penelitian

Sebelum dilakukan pengumpulan data terhadap subyek penelitian, peneliti mengajukan *ethical clearance* terlebih dahulu kepada Komisi Etik Penelitian Kesehatan (KEPK) Fakultas Kedokteran UNDIP dan RSUP Dr. Kariadi Semarang.

#### 4.11 Jadwal Penelitian

Tabel 4. Jadwal penelitian

	Feb				Maret				April				Mei				Juni				Juli				
	1	2	3	4	1	2	3	4	1	2	3	4	1	2	3	4	1	2	3	4	1	2	3	4	
Pembuatan proposal																									
Ujian proposal																									
<i>Ethical clearance</i>																									
Sampling																									
Mengumpulkan data																									
Pengolahan data																									
Analisis data																									
Menulis laporan																									
Menulis artikel																									

## **BAB V**

### **HASIL PENELITIAN**

#### **5.1 Analisis Sampel**

Pengumpulan data penelitian ini dilakukan selama bulan Mei sampai Juni 2012. Data yang digunakan pada penelitian ini adalah data sekunder dari catatan medik RSUP Dr. Kariadi Semarang selama periode bulan Januari 2008 - Desember 2011. Selama melakukan penelusuran terhadap 400 catatan medik pasien dengan gangguan berupa nodul tiroid, didapatkan 72 sampel yang memiliki data hasil biopsi Patologi Anatomi (PA) dan 80 sampel yang memiliki data hasil USG, namun hanya 64 sampel yang mencantumkan hasil diagnosa USG berupa nodul maligna atau benigna. Dari 64 sampel tersebut, hanya 58 sampel yang memiliki data hasil biopsi PA, sehingga total responden yang memenuhi kriteria inklusi dan eksklusi adalah sebanyak 58 sampel.

#### **5.2 Analisis Deskriptif**

Sampel penelitian yang terkumpul akan dianalisis untuk setiap gambaran Ultrasonografi dan dikelompokkan menurut diagnosis Biopsi Patologi Anatomi (PA).

### 5.2.1 Kapsul

Berdasarkan hasil USG yang ada, gambaran kapsul terbagi menjadi dua, yaitu kapsul utuh dan yang tidak utuh. Dari 80 sampel yang didapatkan, yang memiliki data gambaran kapsul pada hasil USG dan telah didiagnosis menggunakan Biopsi PA adalah sebanyak 55 sampel. Dari data tersebut menunjukkan bahwa pada kapsul yang tidak utuh hanya terdapat pada kelompok keganasan. Untuk kapsul yang masih utuh, didapatkan jumlah yang sama pada kelompok karsinoma maupun bukan karsinoma, yaitu berjumlah 26 sampel.

Tabel 5. Distribusi sampel berdasarkan gambaran kapsul pada hasil USG

Gambaran USG Kapsul	Diagnosis PA		Total
	Karsinoma	Bukan Karsinoma	
Tidak utuh	3	0	3
Utuh	26	26	52
Total	29	26	55

### 5.2.2 Parenkim Tiroid

Data yang memiliki gambaran USG berupa keadaan parenkim tiroid dan telah didiagnosis PA adalah sebanyak 39 sampel. Gambaran USG parenkim tiroid terbagi menjadi 2 yaitu gambaran inhomogen dan homogen. Dari 39 sampel yang didapatkan, parenkim inhomogen terdapat hampir sama banyak, 14 sampel pada pada kelompok karsinoma, dan 15 sampel pada kelompok bukan karsinoma.

Gambaran parenkim tiroid yang homogen lebih banyak didapatkan pada kelompok karsinoma.

Tabel 6. Distribusi sampel berdasarkan gambaran parenkim tiroid pada hasil USG

Gambaran USG Parenkim Tiroid	Diagnosis PA		Total
	Karsinoma	Bukan Karsinoma	
Inhomogen	14	15	29
Homogen	8	2	10
Total	22	17	39

### 5.2.3 Komponen Nodul

Pada gambaran USG yang didapat, komponen nodul terbagi menjadi 3, yaitu nodul padat, kistik, serta nodul campuran kistik dan padat.

Tabel 7. Distribusi sampel berdasarkan komponen nodul pada hasil USG

Gambaran USG Komponen Nodul	Diagnosis PA		Total
	Karsinoma	Bukan Karsinoma	
Padat	4	4	8
Kistik	9	11	20
Kistik dan Padat	1	2	3
Total	14	17	31

### 5.2.4 Ekogenisitas Nodul

Gambaran ekogenisitas nodul yang didapatkan pada hasil USG, terbagi dalam nodul hipoekoik, hiperekoik, anekoik, isoekoik, hipoekoik-hiperekoik, isoekoik-hipoekoik, dan isoekoik-hiperekoik.

Tabel 8. Distribusi sampel berdasarkan ekogenisitas nodul pada hasil USG

Gambaran USG Ekogenisitas	Diagnosis PA		Total
	Karsinoma	Bukan Karsinoma	
Hipoekoik	10	8	18
Hiperekoik	6	2	8
Anekoik	4	1	5
Isoekoik	1	2	3
Hipoekoik-hiperekoik	1	5	6
Isoekoik-hipoekoik	2	4	6
Isoekoik-hiperekoik	1	1	2
Total	25	23	48

### 5.2.5 Kalsifikasi

Hasil gambaran USG berupa kalsifikasi dikelompokkan menjadi ada kalsifikasi dan tidak ada kalsifikasi. Adanya gambaran kalsifikasi lebih banyak terdapat pada kelompok karsinoma yaitu sebanyak 19 sampel, sedangkan pada kelompok bukan karsinoma terdapat 12 sampel. Tidak adanya kalsifikasi pada gambaran USG lebih banyak terdapat pada kelompok bukan karsinoma.

Tabel 9. Distribusi sampel berdasarkan klasifikasi pada hasil USG

Gambaran USG Klasifikasi	Diagnosis PA		Total
	Karsinoma	Bukan Karsinoma	
Ada klasifikasi	19	12	31
Tidak ada klasifikasi	15	20	35
Total	34	32	66

### 5.2.6 Peningkatan Vaskularisasi

Terdapat 65 sampel yang memiliki hasil gambaran USG berupa ada tidaknya peningkatan vaskularisasi dan telah didiagnosis Biopsi PA. Pada kelompok karsinoma lebih banyak terdapat gambaran adanya peningkatan vaskularisasi, sedangkan pada kelompok bukan karsinoma lebih banyak ditemukan gambaran tidak adanya peningkatan vaskularisasi.

Tabel 10. Distribusi sampel berdasarkan peningkatan vaskularisasi pada hasil USG

Gambaran USG Peningkatan Vaskularisasi	Diagnosis PA		Total
	Karsinoma	Bukan Karsinoma	
Ada	27	23	50
Tidak ada	6	9	15
Total	33	32	65

### 5.3 Nilai Diagnostik

Nilai diagnostik USG diperoleh dengan mentabulasi data dan dimasukkan ke dalam tabel 2x2. Dari tabel 2x2 kemudian dilakukan penghitungan data untuk mencari sensitivitas, spesifitas, nilai ramal positif dan nilai ramal negatif.

#### 5.3.1 Interpretasi Hasil Ultrasonografi

Tabel 11. Tabel 2x2 hasil ultrasonografi dan biopsi patologi anatomi

		Baku emas pemeriksaan biopsi PA	
		(+) Karsinoma	(-) karsinoma
Hasil pemeriksaan USG	(+) Karsinoma	15	4
	(-) Karsinoma	14	25

$$\text{Sensitivitas} = \frac{15}{15+14} \times 100 \% = 51,72 \%$$

$$\text{Spesifitas} = \frac{25}{4+25} \times 100 \% = 86,2 \%$$

$$\text{Nilai Ramal Positif} = \frac{15}{15+4} \times 100 \% = 78,94 \%$$

$$\text{Nilai Ramal Negatif} = \frac{25}{14+25} \times 100 \% = 64,1 \%$$

### 5.3.2 Gambaran Ultrasonografi

Tiap gambaran USG dianalisis untuk mencari nilai diagnostik dalam mendiagnosis karsinoma tiroid (Tabel 12). Analisis nilai diagnostik untuk variabel komponen nodul hanya diambil sampel yang emempunyai hasil hasil padat dan kistik, sedangkan untuk ekogenisitas nodul hanya diambil hasil hipoekoik dan hiperkoik. Masing-masing dari gambaran USG juga dianalisis menggunakan uji *chi-square* untuk mengetahui nilai p dan besarnya rasio prevalensi (tabel 13)

Tabel 12. Nilai diagnostik masing-masing gambaran ultrasonografi

Gambaran USG	Sensifitas	Spesifitas	Nilai	Nilai
			ramal positif	ramal negatif
Kapsul	10,3 %	100 %	100 %	50 %
Parenkim tiroid	63,6 %	11,7 %	48,2 %	20 %
Komponen nodul	31 %	73,33 %	50 %	0,55 %
Ekogenisitas nodul	62,5 %	20 %	55,55 %	25 %
Klasifikasi	55,8 %	62,5 %	61,2 %	57,1 %
Peningkatan vaskularisasi	81,8 %	28,1 %	54 %	50 %

Tabel 13. Hasil uji *chi-square* dan rasio prevalensi

Gambaran USG	Diagnosis PA		Nilai p	RP	95 % CI
	Karsinoma	Bukan karsinoma			
<b>Kapsul</b>					
Tidak Utuh	3	0	0,238	2	1,52 -2,62
Utuh	26	26			
<b>Parenkim tiroid</b>					
Inhomogen	14	15	0,14	0,603	0,37-0,98
Homogen	8	2			
<b>Komponen nodul</b>					
Padat	4	4	1	1,11	0,47-2,58
Kistik	9	11			
<b>Ekogenisitas nodul</b>					
Hipoekoik	10	8	0,42	0,741	0,41-1,31
Hiperekoik	6	2			
<b>Kalsifikasi</b>					
Ada	19	12	0,135	1,43	0,89-2,29
Tidak	15	20			
<b>Peningkatan vaskularisasi</b>					
Ada	27	23	0,341	1,35	0,69-2,64
Tidak ada	6	9			

Penghitungan nilai diagnositik juga dilakukan pada kombinasi dari gambaran-gambaran USG yang memiliki nilai rasio prevalensi tertinggi, yaitu kapsul, komponen nodul, kalsifikasi, dan peningkatan vaskularisasi. (tabel 24)

Tabel 14. Nilai diagnostik kombinasi gambaran ultrasonografi

N o.	Kombinasi	Diagnosis PA		Sensitivitas	Spesifitas	Nilai ramal positif	Nilai ramal negatif
		Karsinoma	Bukan karsinoma				
1	Kapsul + komponen nodul	Karsinoma	1	0	11,1 %	100 %	100 %
		Bukan karsinoma	8	11			57,89%
2	Kapsul + kalsifikasi	Karsinoma	3	0	11, 1 %	100 %	100%
		Bukan karsinoma	24	24			50 %
3	Kapsul + peningkatan vaskularisasi	Karsinoma	3	0	12 %	100 %	100%
		Bukan karsinoma	22	26			54,16%
4	Komponen nodul+kalsifikasi	Karsinoma	1	0	11,1 %	100 %	100 %
		Bukan karsinoma	8	11			57,89%
5	Komponen nodul + peningkatan vaskularisasi	Karsinoma	4	3	36,36 %	76,92 %	57,14%
		Bukan karsinoma	7	10			58,82%
6	Kalsifikasi + peningkatan vaskularisasi	Karsinoma	12	8	41,37 %	74,19 %	60 %
		Bukan karsinoma	17	23			57,5 %
7	Kapsul + komponen nodul+kalsifikasi	Karsinoma	1	0	11,1 %	100 %	100 %
		Bukan karsinoma	8	11			57,89%
8	Kapsul + komponen nodul+ peningkatan vaskularisasi	Karsinoma	1	0	12,5 %	100 %	100 %
		Bukan karsinoma	7	11			61,1 %
9	Kapsul + Kalsifikasi + peningkatan vaskularisasi	Karsinoma	3	0	13,04 %	100 %	100%
		Bukan karsinoma	20	25			55,55%
10	Komponen nodul + kalsifikasi + peningkatan vaskularisasi	Karsinoma	2	2	20 %	84,61 %	50 %
		Bukan karsinoma	8	11			57,89%
11	Kapsul + komponen nodul + kalsifikasi + peningkatan vaskularisasi	Karsinoma	1	0	12,5 %	100 %	100%
		Bukan karsinoma	7	12			63,15%

## **BAB VII**

### **PEMBAHASAN**

Keganasan tiroid merupakan salah satu keganasan endokrin yang sering dijumpai dan dapat dijumpai pada 5-10% nodul tiroid.<sup>6-8</sup> Ultrasonografi dapat mendeteksi adanya nodul berukuran kecil pada tiroid yang pada pemeriksaan klinis tidak dapat dideteksi.<sup>10</sup> Beberapa studi di luar negeri sudah dilakukan untuk menganalisis kemampuan USG dalam membedakan nodul jinak dan ganas, karena dibandingkan *Fine Needle Aspiration Biopsy* (FNAB) dan biopsi PA, USG tidak memerlukan tindakan invasif dan secara ekonomis lebih murah. Studi ini juga bertujuan untuk menganalisis nilai diagnostik USG dan gambaran-gambaran USG dalam membedakan nodul jinak dan ganas di RSUP Dr. Kariadi Semarang.

Menurut perhitungan sampel minimal, dibutuhkan 62 sampel yang didiagnosis menderita karsinoma tiroid dan minimal 62 sampel yang bukan karsinoma, namun pada penelitian ini total responden yang didapatkan pada penelitian ini adalah 58 sampel, yaitu 29 dengan karsinoma tiroid dan 29 sampel bukan karsinoma tiroid. Hal tersebut dikarenakan tidak terdapatnya hasil laporan USG dan biopsi PA secara lengkap pada masing-masing data pasien. Jadi meskipun ditemukan banyak pasien yang memiliki gangguan berupa nodul tiroid dan dilakukan tindakan USG maupun biopsi PA, hanya 58 pasien yang memiliki hasil laporan USG dan biopsi PA pada catatan mediknya.

Setelah dilakukan analisis deskriptif distribusi sampel menurut gambaran USG, didapatkan hasil bahwa gambaran kapsul yang tidak utuh memiliki sensitivitas sebesar 10,3%, parenkim tiroid yang inhomogen sebesar 63,6 %, dan adanya kalsifikasi sebesar 55,8 %, dan peningkatan vaskularisasi sebesar 81,8 %.

Perluasan ektrakapsuler dapat ditemukan pada 36 % keganasan. Hal ini dapat dilihat pada gambaran USG yang menunjukkan tidak utuhnya kapsul.<sup>30</sup> Pada penelitian ini didapatkan hasil bahwa tidak utuhnya kapsul pada gambaran USG hanya memiliki sensitivitas sebesar 10,3 %, namun memiliki nilai spesifitas dan nilai ramal positif sebesar 100 %. Hal ini berarti tidak utuhnya kapsul memiliki kecenderungan besar sebagai suatu keganasan dan apabila menemukan gambaran kapsul yang utuh, kemungkinan keganasan belum bisa disingkirkan. Gambaran USG berupa parenkim yang inhomogen memiliki nilai sensitivitas yang cukup tinggi yaitu 63,6 %, namun spesifitas, nilai ramal psitif dan negatifnya sangat rendah. Hal ini menunjukkan bahwa walaupun hasil USG menunjukkan gambaran parenkim yang inhomogen, nodul tersebut belum tentu merupakan keganasan.

Penelitian yang dilakukan oleh Mahira Yunus et al. mendapatkan hasil adanya mikrokalsifikasi memiliki sensitivitas sebesar 56%, tidak jauh berbeda dengan hasil penelitian ini.<sup>42</sup> Menurut studi lain, gambaran mikrokalsifikasi pada USG memiliki sensitivitas sebesar 86-95 %.<sup>24,26,30-32</sup> Perbedaan hasil ini disebabkan karena pada data penelitian ini, gambaran yang didapatkan hanyalah berupa ada tidaknya kalsifikasi, tidak disebutkan secara spesifik kalsifikasi yang ada adalah mikroklasifikasi, kalsifikasi bentuk *coarse*, atau makrokalsifikasi.

Menurut studi-studi yang dilakukan, mikrokalsifikasi yang memiliki kecenderungan tinggi berupa keganasan tiroid.<sup>24,26,30-32</sup>

Peningkatan vaskularisasi memiliki sensitifitas yang tinggi dalam mendiagnosis karsinoma tiroid yaitu sebesar 81,8 %, namun spesifitasnya rendah yaitu hanya sebesar 28,1 %. Peningkatan vaskularisasi yang mengarah pada keganasan adalah peningkatan vaskularisasi intranoduler. Peningkaatan vaskularisasi intranoduler dapat ditemukan pada pasien 69 - 74% dengan keganasan.<sup>22</sup> Pada data laporan USG yang didapatkan, tidak ditulis secara spesifik jenis peningkatan vaskularisasinya. Hal tersebut yang mungkin menyebabkan rendahnya nilai spesifitas dari gambaran peningkatan vaskularisasi.

Sensitivitas tertinggi pada kombinasi gambaran USG didapatkan pada kombinasi berupa klasifikasi dan peningkatan vaskularisasi, yaitu sebesar 41,37%. Klasifikasi dan peningkatan vaskularisasi juga memiliki nilai sensitifitas tersendiri yang tinggi dibandingkan dengan gambaran USG yang lain.

Berdasarkan uji diagnostik yang telah dilakukan, didapatkan bahwa sensitivitas pemeriksaan ultrasonografi bernilai 51,72 % yang berarti kemampuan USG dalam menentukan ganas atau tidaknya suatu nodul masih kurang baik. Hasil yang lebih tinggi didapatkan pada studi yang dilakukan oleh Mahira Yunus, yaitu sebesar 92 %. Pada penelitian ini spesifitas USG bernilai cukup baik, yaitu sebesar 86,2 %. Nilai ramal positif untuk pemeriksaan USG mempunyai hasil yang cukup tinggi, yaitu sebesar 78,94%. Hal ini berarti kemungkinan seseorang

didiagnosa keganasan tiroid positif bila hasil pemeriksaan USG menunjukkan keganasan adalah cukup besar.

USG pada nodul tiroid dipakai sebagai tes saring untuk menentukan keadaan tiroid dan untuk mengetahui nodul berukuran kecil yang tidak dapat ditemukan pada palpasi pemeriksaan klinis. Apabila USG digunakan sebagai tes saring untuk menentukan nodul tersebut ganas atau tidak, maka ultrasonografi harus memiliki sensitivitas yang tinggi. Pada penelitian ini didapatkan hasil sensitivitas yang tidak begitu tinggi, hal ini mungkin dikarenakan kurangnya sampel dan tidak spesifiknya data yang didapatkan, seperti jenis kalsifikasi dan jenis peningkatan vaskularisasi.

## **BAB VII**

### **KESIMPULAN DAN SARAN**

#### **7.1 Kesimpulan**

1. Pada penelitian ini didapatkan sensitifitas USG sebesar 51,72 % , spesifitas sebesar 86,2 %, nilai ramal positif sebesar 78,94 % dan nilai ramal negatif sebesar 64,1 %.
2. Berdasarkan analisis yang didapatkan dari tiap komponen USG berupa keadaan kapsul, parenkim tiroid, komponen nodul, ekogenisitas, kalsifikasi, dan peningkatan vaskularisasi, tidak didapatkan hasil yang bermakna
3. Setelah dilakukan kombinasi terhadap komponen-komponen nodul tiroid, hasil yang paling sensitif untuk mendiagnosis adanya keganasan adalah kombinasi antara kalsifikasi dan peningkatan vaskularisasi yaitu sebesar 41,37 %.

#### **7.2 Saran**

1. Kelengkapan lampiran hasil USG dan hasil biopsi PA pada catatan medik perlu ditingkatkan karena sering tidak ditemukan walaupun pada catatan medik tertulis bahwa tindakan tersebut telah dilakukan.
2. Perlu dibuat format temuan baku laporan hasil USG untuk menilai kelainan pada kelenjar tiroid yang dapat mengarah kepada keganasan.

## **DAFTAR PUSTAKA**

1. RI LD. Data Kanker diIndonesia Berdasar Pathologic Based. Jakarta2003.
2. SI S. Thyroid Carcinoma. Lancet2003. p 501-11.
3. Lewinski F, Jarzab. Thyroid Carcinoma: Diagnostic and Therapeutic Approach; genetic background, endocrine regulation. 2000; 34 : 99-113.
4. Vander JB GE, Cawber TR. The Significance of Nontoxic Thyroid Nodule. Ann Intern Med. 1988;69:537-40.
5. Tumbridge WMG ED, Hall R, et. al. The spectrum of Thyroid Disease in a Community: the Whickham Survey. 1997;7:481-93.
6. Gharib H PE, Valcaci R, Baskin HJ, Crescenzi A, Dottorini ME, et al. American Association of Clinical Endocrinologists and Associazione Medici Endocrinologi medical guidelines for clinical practice for the diagnosis and management of thyroid nodules. Endocr Pract. 2006;12:63-102.
7. Fukunari N NM, Sugino K, Mimura T, Ito K. Clinical evaluation of color Doppler imaging for the differential diagnosis of thyroid follicular lesions. World J Surg. 2004;28:1261-5.
8. Chammas MC GR, de Olieviria IR, WidmanA, de Barros N, Durazzo M, et al. Thyroid Nodules: evaluation with power Doppler and duplex Doppler Ultrasound. Otolaryngol Head Neck Surgery. 2005;132:874-82.
9. Parkin D. M. Whelan S. I. FJ. Cancer Incidence en five Continents. International Agency for Research on Cancer. 1997;7.
10. Subekti I. Karsinoma Tiroid. In: Aru W. Sudoyo BS, Idrus Alwi, Marcellinus Simadibrata, Siti Setiati, editor. Buku Ajar Ilmu Penyakit Dalam. 5 ed. Jakarta: Interna Publishing; 2010. p. 2031-37.
11. Martin Schlumberger FP. Thyroid Tumors. Paris: Nucleon; 2006.p 111-345.
12. Tan WJ SK, Liau KH, Low CH. An audit study of the sensitivity and specificity of ultrasound, fine needle aspiration cytology and frozen section in the evaluation of thyroid malignancies in a tertiary institution. Ann Acad Med Singapore. 2010;39(5):359-62.

13. Frederico FR Maia PSM, Bradley P Silva, Ana T Pallone, Elizabeth J Pavin, Jose Vassallo, Denise E Zantut-Wittman. Role of ultrasound, clinical and scintigraphyc parameters to predict malignancy in thyroid nodule. 2011;3:17-21.
14. Sarah Parengi RP. Thyroid Disease. California: Greenwood; 2011. p 92-4.
15. Nadia Khati TA, Karen S. Johnson, Michael C Hill. Ultrasound of the Thyroid and Parathyroid Glands. 2003;19(4):162-76.
16. Rosenthal MS. The Thyroid Sourcebook. United States: McGraw Hill; 2009 [cited 2011 Nov 22].
17. Grangier A. Diagnostic Radiology. A. A, editor. Philadelphia: Churchill Livingstone Elsevier; 2008. p. 324-46.
18. Cooper DS DG, Haugen BR, Kloos RT, Lee SL, et al. Revised American Thyroid Association management guidelines for patients with thyroid nodules and differentiated thyroid cancer. 2009;19:1167-214.
19. Alexander EK HS, Heering JP, Benson CB, Frates MC, Doubilet PM, et al. . Natural history of benign solid and cystic thyroid nodules. Ann Intern Med. 2003;138:315–8.
20. Watters DA AA, Evans RM, Chick W, King WW, Metreweli C, et al. Role of ultrasound in the management of thyroid nodules. Am J Surg. 1992;164:654–7.
21. Lee MJ KE, Kwak JY, Kim MJ. Partially cystic thyroid nodules on ultrasound: probability of malignancy and sonographic differentiation. 2009;19:341-6.
22. Chan BK DT, McDougall IR, Weigel RJ, Jeffrey RB Common and uncommon sonographic features of papillary thyroid carcinoma. J Ultrasound Med. 2003;22:1083–90.
23. Hatabu H KK, Yamamoto K, Iida Y, Misaki T, Hidaka A, et al. Cystic papillary carcinoma of the thyroid gland: a new sonographic sign. 1991;43:121-4.

24. Moon WJ JS, Lee JH, Na DG, Baek JH, Lee YH, et al. Benign and malignant thyroid nodules: US differentiation--multicenter retrospective study. 2008;247:762-70.
25. Bonavita JA MJ, Babb J, Bennett G, Oweity T, Macari M, et al. Pattern recognition of benign nodules at ultrasound of the thyroid: which nodules can be left alone? 2009;193:207-13.
26. Kim EK PC, Chung WY, Oh KK, Kim DI, Lee JT, et al. New sonographic criteria for recommending fine-needle aspiration biopsy of nonpalpable solid nodules of the thyroid. AJR Am J Roentgenol. 2002;178:687-91.
27. Alexander EK HS, Heering JP, Benson CB, Frates MC, Doubilet PM, et al. Thyroid nodule shape and prediction of malignancy. 2004;14:953-8.
28. Stavros AT TD, Rapp CL, Dennis MA, Parker SH, Sisney GA. Solid breast nodules: use of sonography to distinguish between benign and malignant lesions. . 1995;196:123-34.
29. Won-Jin Moon M, Jung Hwan Baek, MD, So Lyung Jung, MD, Dong Wook Kim, MD, Eun Kyung Kim, MD, Ji Young Kim, MD, Jin Young Kwak, MD, Jeong Hyun Lee, MD, Joon Hyung Lee, MD, Young Hen Lee, MD, Dong Gyu Na, MD, Jeong Seon Park, MD, Sun Won Park, MD. Ultrasonography and the Ultrasound-Based Management of Thyroid Nodules: Consensus Statement and Recommendations. 2011;12(1):1-14.
30. Papini E GR, Bianchini A, Crescenzi A, Taccogna S, Nardi F, et al. Risk of malignancy in nonpalpable thyroid nodules: predictive value of ultrasound and color-Doppler features. 2002;87:1941-6.
31. Khoo ML AS, Witterick IJ, Freeman JL. Thyroid calcification and its association with thyroid carcinoma. 2002;24:651-5.
32. Peccin S dCJ, Furlanetto TW, Furtado AP, Brasil BA, Czepielewski MA. Ultrasonography: is it useful in the diagnosis of cancer in thyroid nodules? 2002;25:39-43.
33. Kwak MS BJ, Kim YS, Jeong HJ. Patterns and significance of peripheral calcifications of thyroid tumors seen on ultrasound. 2005;53:401-5.

34. Yoon DY LJ, Chang SK, Choi CS, Yun EJ, Seo YL, et al. Peripheral calcification in thyroid nodules: ultrasonographic features and prediction of malignancy. 2007;26:1349-55.
35. Kim BM KM, Kim EK, Kwak JY, Hong SW, Son EJ, et al. Sonographic differentiation of thyroid nodules with eggshell calcifications. 2008;27:1425-30.
36. Tamsel S DG, Erdogan M, Nart D, Karadeniz M, Uluer H, et al. Power Doppler US patterns of vascularity and spectral Doppler US parameters in predicting malignancy in thyroid nodules. 2007;62:245-51.
37. Moon HJ KJ, Kim MJ, Son EJ, Kim EK. Can vascularity at power Doppler US help predict thyroid malignancy. 2010;255:260-9.
38. Lyshchik A HT, Asato R, Tanaka S, Ito J, Mai JJ, et al. Thyroid gland tumor diagnosis at US elastography. . 2005;237:202-11.
39. Pramod K Sharma M. Thyroid Cancer. WebMD LLC; 2011 [updated Jun 1, 2011; cited 2012 Jan 20]; Available from: <http://emedicine.medscape.com/article/851968>.
40. Center CUM. Department of Surgery : Thyroid. New York2007 [cited 2012 Jan 26]; Available from:  
<http://cpmcnet.columbia.edu/dept/thyroid/medcare.html>.
41. Santacroce L. Follicular Thyroid Carcinoma. Italy2012; Available from:  
<http://emedicine.medscape.com/article/278488-overview>.
42. Yunus M, Ahmed Z. Significance of ultrasound features in predicting malignant solid thyroid nodules: Need for fine-needle aspiration. Journal of Pakistan Medical Association. 2010; 60(10): 848-53.



KOMISI ETIK PENELITIAN KESEHATAN (KEPK)  
FAKULTAS KEDOKTERAN UNIVERSITAS DIPONEGORO  
DAN RSUP dr KARIADI SEMARANG  
Sekretariat : Kantor Dekanat FK Undip Lt.3  
Jl. Dr. Soetomo 18. Semarang  
Telp.024-8311523/Fax. 024-8446905



**ETHICAL CLEARANCE**  
**No. 094/EC/FK/RSDK/2012**

Komisi Etik Penelitian Kesehatan Fakultas Kedokteran Universitas Diponegoro/  
RSUP. Dr. Kariadi Semarang, setelah membaca dan menelaah USULAN  
Penelitian dengan judul :

**UJI DIAGNOSTIK ULTRASONOGRAFI DIBANDINGKAN DENGAN  
BIOPSI PATHOLOGI ANATOMI DALAM MENDIAGNOSIS  
KARSINOMA TIROID**

Peneliti Utama : Yenny Kartika Gozali  
Pembimbing : dr. K. Heri Nugroho Hario Seno, Sp.PD-KEMD  
dr. Rebriarina Hapsari  
Penelitian : Dilaksanakan di RSUP Dr. Kariadi Semarang

Setuju untuk dilaksanakan, dengan memperhatikan prinsip-prinsip yang  
dinyatakan dalam Deklarasi Helsinki 1975, dan Pedoman Nasional Etik  
Penelitian Kesehatan (PNEPK) Departemen Kesehatan RI 2004.

Peneliti harus melampirkan 2 kopi lembar Informed consent yang telah disetujui  
dan ditandatangani oleh peserta penelitian pada laporan penelitian.

Fakultas Kedokteran Undip

Dekan

dr. Endang Ambarwati, Sp.KFR(K)  
NIP. 19560806 198503 2 001

Semarang, 9 April 2012  
Komisi Etik Penelitian Kesehatan  
Fakultas Kedokteran Undip/RS. Dr. Kariadi  
Sekretaris

Prof. dr. Siti Fatimah Muis, M.Sc, Sp.GK  
NIP. 13036806700



KEMENTERIAN PENDIDIKAN DAN KEBUDAYAAN

UNIVERSITAS DIPONEGORO

**FAKULTAS KEDOKTERAN**

Jl. Dr. Soetomo No. 18 (Komplek Zona Pendidikan RSUP Dr. Kariadi) Semarang 50231  
Telp. (024) 8311480, 8311523 Fax. (024) 8446905

Nomor : 1271/UN7.3.4/D1/PP/2012

Lampiran : Proposal

Perihal : Permohonan ijin peminjaman catatan register

11.1.2012

Yth. Direktur Utama  
RSUP Dr. Kariadi  
Semarang

Dengan hormat,

Bersama ini kami hadapkan mahasiswa Fakultas Kedokteran Universitas Diponegoro :

- Nama/ NIM : 1. Yenny Kartika / G2A 008 198  
2. Zen Ary Prasetyo / G2A 008 202  
3. Yohanes Dona / G2A 008 200

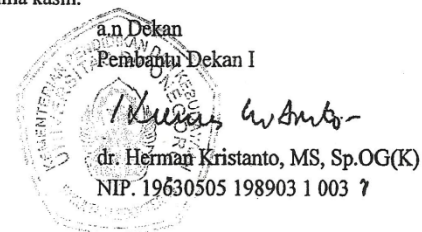
Semester : VIII (Delapan)

Mohon diijinkan untuk meminjam catatan register biopsi di Bagian Patologi Anatomi RSUP Dr. Kariadi Semarang, dalam rangka penyusunan Karya Tulis Ilmiah mahasiswa. Terlampir bersama ini proposal penelitian mahasiswa yang bersangkutan.

- Judul/Topik : 1. Uji Diagnostik Ultrasonografi Dibandingkan dengan Biopsi Patologi Anatomi dalam Mendiagnosis Karsinoma Tiroid  
2. Uji Diagnostik FNAB (Fine Needle Aspiration Biopsy) Dibandingkan dengan Biopsi Patologi Anatomi dalam Mendiagnosis Karsinoma Tiroid  
3. Uji Diagnostik Karakteristik Klinis Dibandingkan dengan Biopsi Patologi Anatomi dalam Mendiagnosis Karsinoma Tiroid

Pembimbing : dr. K. Heri Nugroho Hario Seno, Sp.PD-KEMD/ dr. Rebriarina Hapsari

Atas perhatian dan kerjasamanya diucapkan terima kasih.



Tembusan Yth. :

1. Dekan FK Undip (sebagai laporan)
2. Ketua Tim Karya Tulis Ilmiah FK Undip
3. Ketua UP3 FK Undip
4. Ketua Bidang Diklit RSUP Dr. Kariadi Semarang



KEMENTERIAN PENDIDIKAN DAN KEBUDAYAAN  
UNIVERSITAS DIPONEGORO  
FAKULTAS KEDOKTERAN

Jl. Dr. Soetomo No. 18 (Komplek Zona Pendidikan RSUP Dr. Kariadi) Semarang 50231  
Telp. (024) 8311480, 8311523 Fax. (024) 8446905

Nomor : 1239 /UN7.3.4/D1/PP/2012

Lampiran : Proposal

Perihal : Permohonan ijin peminjaman data rekam medik

06 Maret 2012

Yth. Direktur Utama  
RSUP Dr. Kariadi  
Semarang

Dengan hormat,

Bersama ini kami hadapkan mahasiswa Fakultas Kedokteran Universitas Diponegoro :

Nama/ NIM : 1. Wisnu Wardhana / G2A 008 196  
2. Yenny Kartika / G2A 008 198

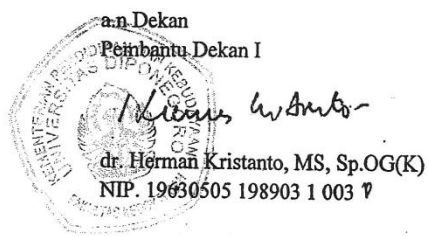
Semester : VIII (Delapan)

Mohon diijinkan untuk mengambil data rekam medik di Instalasi Rekam Medik RSUP Dr. Kariadi Semarang, dalam rangka penyusunan Karya Tulis Ilmiah mahasiswa. Terlampir bersama ini proposal penelitian mahasiswa yang bersangkutan.

Judul/Topik : 1. Faktor-faktor Risiko Osteoporosis pada Pasien dengan Usia di Atas Usia 50 Tahun  
2. Uji Diagnostik Ultrasonografi Dibandingkan dengan Biopsi Patologi Anatomi dalam Mendiagnosis Karsinoma Tiroid

Pembimbing : dr. K. Heri Nugroho Hario Seno, Sp.PD-KEMD/ dr. Rebriarina Hapsari

Atas perhatian dan kerjasamanya diucapkan terima kasih.



Tembusan Yth. :

1. Dekan FK Undip (sebagai laporan)
2. Ketua Tim Karya Tulis Ilmiah FK Undip
3. Ketua UP3 FK Undip
4. Ketua Bidang Diklit RSUP Dr. Kariadi Semarang
5. Manager Rekam Medik RSUP Dr. Kariadi Semarang

GET

FILE='C:\Users\Testing\Documents\KTI yenny\KTI yenny.sav'.

DATASET NAME DataSet0 WINDOW=FRONT.

CROSSTABS

/TABLES=Hasil\_USG Ukuran kapsul Parenkim\_tiroid Komponen\_nodul Ekogenisitas Kalsifikasi Peningkatan\_vaskularisasi BY Hasil\_biopsi\_PA

## Crosstabs

[DataSet1] C:\Users\Testing\Documents\KTI yenny\KTI yenny.sav

Case Processing Summary

	Cases					
	Valid		Missing		Total	
	N	Percent	N	Percent	N	Percent
Hasil_USG * Hasil_biopsi_PA	58	72.5%	22	27.5%	80	100.0%
Ukuran * Hasil_biopsi_PA	66	82.5%	14	17.5%	80	100.0%
kapsul * Hasil_biopsi_PA	55	68.8%	25	31.2%	80	100.0%
Parenkim_tiroid * Hasil_biopsi_PA	39	48.8%	41	51.2%	80	100.0%
Komponen_nodul * Hasil_biopsi_PA	31	38.8%	49	61.2%	80	100.0%
Ekogenisitas * Hasil_biopsi_PA	48	60.0%	32	40.0%	80	100.0%
Kalsifikasi * Hasil_biopsi_PA	66	82.5%	14	17.5%	80	100.0%
Peningkatan_vaskularisasi * Hasil_biopsi_PA	65	81.2%	15	18.8%	80	100.0%

## Hasil\_USG \* Hasil\_biopsi\_PA

			Hasil_biopsi_PA		Total	
Hasil_USG	Karsinoma tiroid	Count	Karsinoma	Non karsinoma		
		% within Hasil_biopsi_PA	51.7%	13.8%	32.8%	
Hasil_USG	Karsinoma tiroid	% of Total	25.9%	6.9%	32.8%	
		Count	15	4	19	
		% within Hasil_biopsi_PA	48.3%	86.2%	67.2%	
	Non Karsinoma	% of Total	24.1%	43.1%	67.2%	
		Count	14	25	39	
		% of Total	50.0%	50.0%	100.0%	
Total		Count	29	29	58	
		% within Hasil_biopsi_PA	100.0%	100.0%	100.0%	
		% of Total	50.0%	50.0%	100.0%	

Chi-Square Tests

	Value	df	Asymp. Sig. (2-sided)	Exact Sig. (2-sided)	Exact Sig. (1-sided)
Pearson Chi-Square	9.471 <sup>a</sup>	1	.002		
Continuity Correction <sup>b</sup>	7.827	1	.005		
Likelihood Ratio	9.928	1	.002		
Fisher's Exact Test				.004	.002
Linear-by-Linear Association	9.308	1	.002		
N of Valid Cases <sup>b</sup>	58				

a. 0 cells (.0%) have expected count less than 5. The minimum expected count is 9,50.

b. Computed only for a 2x2 table

Risk Estimate			
	Value	95% Confidence Interval	
		Lower	Upper
Odds Ratio for Hasil_USG (Karsinoma tiroid / Non Karsinoma)	6.696	1.857	24.142
For cohort Hasil_biopsi_PA = Karsinoma	2.199	1.362	3.552
For cohort Hasil_biopsi_PA = Non karsinoma	.328	.133	.809
N of Valid Cases	58		

### Ukuran \* Hasil\_biopsi\_PA

Crosstab			Hasil_biopsi_PA		Total	
Ukuran	membesar	Count	Karsinoma	Non karsinoma		
		% within Hasil_biopsi_PA	54.3%	80.6%	66.7%	
Ukuran	membesar	% of Total	28.8%	37.9%	66.7%	
		Count	19	25	44	
		% within Hasil_biopsi_PA	45.7%	19.4%	33.3%	
	tidak membesar	% of Total	24.2%	9.1%	33.3%	
		Count	16	6	22	
		% within Hasil_biopsi_PA	100.0%	100.0%	100.0%	
Total		% of Total	53.0%	47.0%	100.0%	
		Count	35	31	66	

### Chi-Square Tests

	Value	df	Asymp. Sig. (2-sided)	Exact Sig. (2-sided)	Exact Sig. (1-sided)
Pearson Chi-Square	5.140 <sup>a</sup>	1	.023		
Continuity Correction <sup>b</sup>	4.022	1	.045		
Likelihood Ratio	5.295	1	.021		
Fisher's Exact Test				.036	.022
Linear-by-Linear Association	5.062	1	.024		
N of Valid Cases <sup>b</sup>	66				

a. 0 cells (.0%) have expected count less than 5. The minimum expected count is 10.33.

b. Computed only for a 2x2 table

### Risk Estimate

	Value	95% Confidence Interval	
		Lower	Upper
Odds Ratio for Ukuran (membesar / tidak membesar)	.285	.094	.866
For cohort Hasil.biopsi_PA = Karsinoma	.594	.388	.908
For cohort Hasil.biopsi_PA = Non karsinoma	2.083	1.005	4.320
N of Valid Cases	66		

## kapsul \* Hasil\_biopsi\_PA

			Hasil_biopsi_PA		Total
			Karsinoma	Non karsinoma	
kapsul	tidak utuh	Count	3	0	3
		% within Hasil_biopsi_PA	10.3%	.0%	5.5%
		% of Total	5.5%	.0%	5.5%
	utuh	Count	26	26	52
		% within Hasil_biopsi_PA	89.7%	100.0%	94.5%
		% of Total	47.3%	47.3%	94.5%
	Total	Count	29	26	55
		% within Hasil_biopsi_PA	100.0%	100.0%	100.0%
		% of Total	52.7%	47.3%	100.0%

Chi-Square Tests					
	Value	df	Asymp. Sig. (2-sided)	Exact Sig. (2-sided)	Exact Sig. (1-sided)
Pearson Chi-Square	2.845 <sup>a</sup>	1	.092		
Continuity Correction <sup>b</sup>	1.192	1	.275		
Likelihood Ratio	3.995	1	.046		
Fisher's Exact Test				.238	.139
Linear-by-Linear Association	2.793	1	.095		
N of Valid Cases <sup>b</sup>	55				

a. 2 cells (50,0%) have expected count less than 5. The minimum expected count is 1,42.

b. Computed only for a 2x2 table

Risk Estimate			
	Value	95% Confidence Interval	
		Lower	Upper
For cohort Hasil_biopsi_PA = Karsinoma	2.000	1.524	2.625
N of Valid Cases	55		

### Parenkim\_tiroid \* Hasil\_biopsi\_PA

			Crosstab		
			Hasil_biopsi_PA		Total
			Karsinoma	Non karsinoma	
Parenkim_tiroid	inhomogen	Count	14	15	29
		% within Hasil_biopsi_PA	63.6%	88.2%	74.4%
		% of Total	35.9%	38.5%	74.4%
	homogen	Count	8	2	10
		% within Hasil_biopsi_PA	36.4%	11.8%	25.6%
		% of Total	20.5%	5.1%	25.6%
Total		Count	22	17	39
		% within Hasil_biopsi_PA	100.0%	100.0%	100.0%
		% of Total	56.4%	43.6%	100.0%

### Chi-Square Tests

	Value	df	Asymp. Sig. (2-sided)	Exact Sig. (2-sided)	Exact Sig. (1-sided)
Pearson Chi-Square	3.043 <sup>a</sup>	1	.081		
Continuity Correction <sup>b</sup>	1.890	1	.169		
Likelihood Ratio	3.247	1	.072		
Fisher's Exact Test				.140	.083
Linear-by-Linear Association	2.965	1	.085		
N of Valid Cases <sup>b</sup>	39				

a. 1 cells (25.0%) have expected count less than 5. The minimum expected count is 4.36.

b. Computed only for a 2x2 table

### Risk Estimate

	Value	95% Confidence Interval	
		Lower	Upper
Odds Ratio for Parenkim_tiroid (inhomogen / homogen)	.233	.042	1.293
For cohort Hasil_biopsi_PA = Karsinoma	.603	.370	.983
For cohort Hasil_biopsi_PA = Non karsinoma	2.586	.713	9.381
N of Valid Cases	39		

## Komponen\_nodul \* Hasil\_biopsi\_PA

			Hasil_biopsi_PA		Total
			Karsinoma	Non karsinoma	
Komponen_nodul	Padat	Count	4	4	8
		% within Hasil_biopsi_PA	28.6%	23.5%	25.8%
		% of Total	12.9%	12.9%	25.8%
	kistik	Count	9	11	20
		% within Hasil_biopsi_PA	64.3%	64.7%	64.5%
		% of Total	29.0%	35.5%	64.5%
	kistik dan padat	Count	1	2	3
		% within Hasil_biopsi_PA	7.1%	11.8%	9.7%
		% of Total	3.2%	6.5%	9.7%
Total		Count	14	17	31
		% within Hasil_biopsi_PA	100.0%	100.0%	100.0%
		% of Total	45.2%	54.8%	100.0%

Chi-Square Tests

	Value	df	Asymp. Sig. (2-sided)
Pearson Chi-Square	.245 <sup>a</sup>	2	.885
Likelihood Ratio	.249	2	.883
Linear-by-Linear Association	.211	1	.646
N of Valid Cases	31		

a. 4 cells (66,7%) have expected count less than 5. The minimum expected count is 1,35.

Risk Estimate	
	Value
Odds Ratio for Komponen_nodul (Padat / kistik)	<sup>a</sup>

a. Risk Estimate statistics cannot be computed. They are only computed for a 2\*2 table without empty cells.

## **Ekogenisitas \* Hasil\_biopsi\_PA**

			Hasil_biopsi_PA		Total
Ekogenisitas	hipoekoik	Count	Karsinoma	Non karsinoma	
		% within Hasil_biopsi_PA	40.0%	34.8%	37.5%
Ekogenisitas	hipoekoik	% of Total	20.8%	16.7%	37.5%
		Count	10	8	18
		% within Hasil_biopsi_PA	40.0%	34.8%	37.5%
Ekogenisitas	hipereokik	% of Total	20.8%	16.7%	37.5%
		Count	6	2	8
		% within Hasil_biopsi_PA	24.0%	8.7%	16.7%
Ekogenisitas	Anekoik	% of Total	12.5%	4.2%	16.7%
		Count	4	1	5
		% within Hasil_biopsi_PA	16.0%	4.3%	10.4%
Ekogenisitas	Anekoik	% of Total	8.3%	2.1%	10.4%
		Count	1	5	6
		% within Hasil_biopsi_PA	4.0%	21.7%	12.5%
Ekogenisitas	hipoekok dan hiperekoik	% of Total	2.1%	10.4%	12.5%

	isoekoik dan hipoekoik	Count	2	4	6
		% within Hasil_biopsi_PA	8.0%	17.4%	12.5%
		% of Total	4.2%	8.3%	12.5%
	isoekoik	Count	1	2	3
		% within Hasil_biopsi_PA	4.0%	8.7%	6.2%
		% of Total	2.1%	4.2%	6.2%
	hiperekoik dan isoekoik	Count	1	1	2
		% within Hasil_biopsi_PA	4.0%	4.3%	4.2%
		% of Total	2.1%	2.1%	4.2%
Total		Count	25	23	48
		% within Hasil_biopsi_PA	100.0%	100.0%	100.0%
		% of Total	52.1%	47.9%	100.0%

#### Chi-Square Tests

	Value	df	Asymp. Sig. (2-sided)
Pearson Chi-Square	7.619 <sup>a</sup>	6	.267
Likelihood Ratio	8.090	6	.232
Linear-by-Linear Association	2.034	1	.154
N of Valid Cases	48		

a. 12 cells (85,7%) have expected count less than 5. The minimum expected count is ,96.

#### Risk Estimate

	Value
Odds Ratio for Ekogenisitas (hipoekoik / hipereokik)	<sup>a</sup>

a. Risk Estimate statistics cannot be computed. They are only computed for a 2\*2 table without empty cells.

## Kalsifikasi \* Hasil\_biopsi\_PA

Crosstab

		Hasil_biopsi_PA		Total
		Karsinoma	Non karsinoma	
Kalsifikasi	ada kalsifikasi	Count	19	12
		% within Hasil_biopsi_PA	55.9%	37.5%
		% of Total	28.8%	18.2%
	tidak ada kalsifikasi	Count	15	20
		% within Hasil_biopsi_PA	44.1%	62.5%
		% of Total	22.7%	30.3%
Total		Count	34	32
		% within Hasil_biopsi_PA	100.0%	100.0%
		% of Total	51.5%	48.5%

Chi-Square Tests

	Value	df	Asymp. Sig. (2-sided)	Exact Sig. (2-sided)	Exact Sig. (1-sided)
Pearson Chi-Square	2.236 <sup>a</sup>	1	.135		
Continuity Correction <sup>b</sup>	1.559	1	.212		
Likelihood Ratio	2.250	1	.134		
Fisher's Exact Test				.149	.106
Linear-by-Linear Association	2.202	1	.138		
N of Valid Cases <sup>b</sup>	66				

a. 0 cells (,0%) have expected count less than 5. The minimum expected count is 15,03.

b. Computed only for a 2x2 table

Risk Estimate			
	Value	95% Confidence Interval	
		Lower	Upper
Odds Ratio for Kalsifikasi (ada kalsifikasi / tidak ada kalsifikasi)	2.111	.788	5.654
For cohort Hasil_biopsi_PA = Karsinoma	1.430	.890	2.297
For cohort Hasil_biopsi_PA = Non karsinoma	.677	.400	1.148
N of Valid Cases	66		

### Peningkatan\_vaskularisasi \* Hasil\_biopsi\_PA

		Hasil_biopsi_PA		Total
		Karsinoma	Non karsinoma	
Peningkatan ada peningkatan vaskularisasi	Count	27	23	50
	% within Hasil_biopsi_PA	81.8%	71.9%	76.9%
	% of Total	41.5%	35.4%	76.9%
Tidak ada peningkatan vaskularisasi	Count	6	9	15
	% within Hasil_biopsi_PA	18.2%	28.1%	23.1%
	% of Total	9.2%	13.8%	23.1%
Total	Count	33	32	65
	% within Hasil_biopsi_PA	100.0%	100.0%	100.0%
	% of Total	50.8%	49.2%	100.0%

### Chi-Square Tests

	Value	df	Asymp. Sig. (2-sided)	Exact Sig. (2-sided)	Exact Sig. (1-sided)
Pearson Chi-Square	.905 <sup>a</sup>	1	.341		
Continuity Correction <sup>b</sup>	.431	1	.511		
Likelihood Ratio	.909	1	.340		
Fisher's Exact Test				.389	.256
Linear-by-Linear Association	.891	1	.345		
N of Valid Cases <sup>b</sup>	65				

a. 0 cells (.0%) have expected count less than 5. The minimum expected count is 7,38.

b. Computed only for a 2x2 table

### Risk Estimate

	Value	95% Confidence Interval	
		Lower	Upper
Odds Ratio for Peningkatan_vaskularisasi (ada peningkatan vaskularisasi / Tidak ada peningkatan vaskularisasi)	1.761	.545	5.692
For cohort Hasil_biopsi_PA = Karsinoma	1.350	.690	2.640
For cohort Hasil_biopsi_PA = Non karsinoma	.767	.460	1.278
N of Valid Cases	65		

## Crosstabs

[DataSet1] C:\Users\Testing\Documents\KTI\_yenny\kombinasi\_1(kpsul+komp).sav

Case Processing Summary						
	Cases					
	Valid		Missing		Total	
	N	Percent	N	Percent	N	Percent
usg * Hasil_biopsi_PA	20	95.2%	1	4.8%	21	100.0%

usg \* Hasil\_biopsi\_PA Crosstabulation

			Hasil_biopsi_PA		Total	
			Karsinoma	Non karsinoma		
usg	karsinoma	Count	1	0	1	
		Expected Count	.4	.6	1.0	
		% within Hasil_biopsi_PA	11.1%	.0%	5.0%	
		% of Total	5.0%	.0%	5.0%	
	bukan karsinoma	Count	8	11	19	
		Expected Count	8.6	10.4	19.0	
		% within Hasil_biopsi_PA	88.9%	100.0%	95.0%	
		% of Total	40.0%	55.0%	95.0%	
Total		Count	9	11	20	
		Expected Count	9.0	11.0	20.0	
		% within Hasil_biopsi_PA	100.0%	100.0%	100.0%	
		% of Total	45.0%	55.0%	100.0%	

## Crosstabs

[DataSet1] C:\Users\Testing\Documents\KTI yenny\spss\kombinasi 2 (kapsul+kalsifikasi).sav

Case Processing Summary						
	Cases					
	Valid		Missing		Total	
	N	Percent	N	Percent	N	Percent
USG * Hasil_biopsi_PA	51	92.7%	4	7.3%	55	100.0%

USG * Hasil_biopsi_PA Crosstabulation						
Count		Hasil_biopsi_PA				
		Karsinoma	Non karsinoma	Total		
USG	karsinoma	3	0	3		
	bukan karsinoma	24	24	48		
Total		27	24	51		

## Crosstabs

[DataSet2] C:\Users\Testing\Documents\KTI\_yenny\komb\_3 (kapsul+vask).sav

Case Processing Summary						
	Cases					
	Valid		Missing		Total	
	N	Percent	N	Percent	N	Percent
USG * Hasil_biopsi_PA	51	92.7%	4	7.3%	55	100.0%

USG * Hasil_biopsi_PA Crosstabulation						
Count		Hasil_biopsi_PA				
		Karsinoma	Non karsinoma	Total		
USG	karsinoma	3	0		3	
	bukan karsinoma	22	26		48	
Total		25	26		51	

## Crosstabs

[DataSet1] C:\Users\Testing\Documents\KTI\_yenny\spss\komb5 (komp+vas).sav

Case Processing Summary						
	Cases					
	Valid		Missing		Total	
	N	Percent	N	Percent	N	Percent
USG * Hasil_biopsi_PA	24	92.3%	2	7.7%	26	100.0%

USG * Hasil_biopsi_PA Crosstabulation					
Count					
		Hasil_biopsi_PA		Total	
		Karsinoma	Non karsinoma		
USG	karsinoma	4	3	7	
	bukan karsinoma	7	10	17	
Total		11	13	24	

## Crosstabs

[DataSet1] C:\Users\Testing\Documents\KTI yenny\spss\komb6 (kals+vask).sa

v

Case Processing Summary						
	Cases					
	Valid		Missing		Total	
	N	Percent	N	Percent	N	Percent
USG * Hasil_biopsi_PA	60	89.6%	7	10.4%	67	100.0%

USG * Hasil_biopsi_PA Crosstabulation					
Count					
		Hasil_biopsi_PA		Total	
		Karsinoma	Non karsinoma		
USG	karsinoma	12	8	20	
	bukan karsinoma	17	23	40	
Total		29	31	60	

## Crosstabs

[DataSet2] C:\Users\Testing\Documents\KTI\_yenny\spss\komb7 (kapsul+komp+kalas).sav

Case Processing Summary						
	Cases					
	Valid		Missing		Total	
	N	Percent	N	Percent	N	Percent
USG * Hasil_biopsi_PA	20	95.2%	1	4.8%	21	100.0%

USG * Hasil_biopsi_PA Crosstabulation						
Count		Hasil_biopsi_PA		Total		
		Karsinoma	Non karsinoma			
USG	karsinoma	1	0	1		
	bukan karsinoma	8	11	19		
Total		9	11	20		

## Crosstabs

[DataSet3] C:\Users\Testing\Documents\KTI\_yenny\spss\komb8 (kapsul+komp+vas).sav

Case Processing Summary						
	Cases					
	Valid		Missing		Total	
	N	Percent	N	Percent	N	Percent
USG * Hasil_biopsi_PA	19	95.0%	1	5.0%	20	100.0%

USG * Hasil_biopsi_PA Crosstabulation					
Count					
		Hasil_biopsi_PA		Total	
		Karsinoma	Non karsinoma		
USG	karsinoma	1	0	1	
	bukan karsinoma	7	11	18	
Total		8	11	19	

## Crosstabs

[DataSet4] C:\Users\Testing\Documents\KTI yenny\spss\komb9 (kapsul+kals+vas).sav

Case Processing Summary						
	Cases					
	Valid		Missing		Total	
	N	Percent	N	Percent	N	Percent
USG * Hasil_biopsi_PA	48	92.3%	4	7.7%	52	100.0%

USG * Hasil_biopsi_PA Crosstabulation					
Count					
		Hasil_biopsi_PA		Total	
		Karsinoma	Non karsinoma		
USG	karsinoma	3	0	3	
	bukan karsinoma	20	25	45	
Total		23	25	48	

## Crosstabs

[DataSet5] C:\Users\Testing\Documents\KTI\_yenny\spss\komb10 (komp+kals+vas).sav

Case Processing Summary						
	Cases					
	Valid		Missing		Total	
	N	Percent	N	Percent	N	Percent
USG * Hasil_biopsi_PA	23	92.0%	2	8.0%	25	100.0%

USG * Hasil_biopsi_PA Crosstabulation						
Count		Hasil_biopsi_PA		Total		
		Karsinoma	Non karsinoma			
USG	karsinoma	2	2	4		
	bukan karsinoma	8	11	19		
Total		10	13	23		

## Crosstabs

[DataSet6] C:\Users\Testing\Documents\KTI\_yenny\spss\komb11 (kaps+komp+kal+vas).sav

Case Processing Summary						
	Cases					
	Valid		Missing		Total	
	N	Percent	N	Percent	N	Percent
USG * Hasil_biopsi_PA	20	95.2%	1	4.8%	21	100.0%

USG * Hasil.biopsi_PA Crosstabulation					
Count					
		Hasil.biopsi_PA		Total	
		Karsinoma	Non karsinoma		
USG	karsinoma	1	0	1	
	bukan karsinoma	7	12	19	
	Total	8	12	20	

## **BIODATA PENELITI**

### **Identitas**

Nama : Yenny Kartika Gozali  
NIM : G2A008198  
Tempat/tanggal lahir : Semarang,, 9 Januari 1991  
Jenis kelamin : Wanita  
Alamat : Kepodang Barat VII no. 117 Semarang  
Nomor telpon : -  
Nomor HP : 085640700567  
e-mail : cikyen\_oye@yahoo.com

### **Riwayat Pendidikan Formal**

- |             |                          |             |        |
|-------------|--------------------------|-------------|--------|
| 1. SD       | : SD Karang Rejo 01      | Lulus tahun | : 2002 |
| 2. SMP      | : SMP Negeri 21 Semarang | Lulus tahun | : 2005 |
| 3. SMA      | : SMA Negeri 3 Semarang  | Lulus tahun | : 2008 |
| 4. FK UNDIP | : Masuk tahun: 2008      |             |        |

**Keanggotaan Organisasi** : -

**Pengalaman Penelitian** : -

**Pengalaman publikasi tulisan ilmiah** : -

**Pengalaman presentasi karya ilmiah** : -

**Pengalaman mengikuti lomba karya ilmiah** : -